

## ТОНКАЯ СТРУКТУРА СИЛОВЫХ ФУНКЦИЙ БЕТА-РАСПАДА АТОМНЫХ ЯДЕР

*И. Н. Изосимов\*, В. Г. Калинин, А. А. Солнышкин*

Объединенный институт ядерных исследований, Дубна

ВВЕДЕНИЕ	1805
СИЛОВАЯ ФУНКЦИЯ $\beta$ -РАСПАДА $S_{\beta}(E)$	1807
Функция Ферми	1813
Периоды полураспада	1816
Полнота схем распада	1818
Влияние структуры $S_{\beta}(E)$ на вероятность запаздывающих процессов	1819
ЗАПАЗДЫВАЮЩЕЕ ДЕЛЕНИЕ	1821
Силловые функции $\beta^{-}$ - и $\beta^{+}$ /ЕС-распадов и запаздывающее деление актинидных ядер	1822
Силловые функции $\beta^{-}$ - и $\beta^{+}$ /ЕС-распадов и запаздывающее деление доактинидных ядер	1826
ЗАПАЗДЫВАЮЩИЕ ПРОТОНЫ	1828
ЗАПАЗДЫВАЮЩИЕ НЕЙТРОНЫ	1829
ЭКСПЕРИМЕНТАЛЬНЫЕ МЕТОДЫ ИЗМЕРЕНИЯ $S_{\beta}(E)$	1831
ТЕОРЕТИЧЕСКОЕ ОПИСАНИЕ $S_{\beta}(E)$	1837
ИССЛЕДОВАНИЯ СТРУКТУРЫ $S_{\beta}(E)$ С ПОМОЩЬЮ TAGS	1839
ИССЛЕДОВАНИЯ СТРУКТУРЫ $S_{\beta}(E)$ С ПОМОЩЬЮ МЕТОДОВ ЯДЕРНОЙ СПЕКТРОСКОПИИ ВЫСОКОГО РАЗРЕШЕНИЯ	1846
ЗАКЛЮЧЕНИЕ	1857
СПИСОК ЛИТЕРАТУРЫ	1858

---

\*E-mail: izig@mail.ru

## ТОНКАЯ СТРУКТУРА СИЛОВЫХ ФУНКЦИЙ БЕТА-РАСПАДА АТОМНЫХ ЯДЕР

*И. Н. Изосимов,\* В. Г. Калинин, А. А. Солнышкин*

Объединенный институт ядерных исследований, Дубна

Силовая функция  $\beta$ -переходов  $S_\beta(E)$  представляет собой распределение квадратов модулей матричных элементов  $\beta$ -распадного типа по энергиям возбуждения ядра.  $S_\beta(E)$  определяет характеристики  $\beta$ -распада, спектры сопутствующих излучений и вероятности запаздывающих процессов, сопровождающих  $\beta$ -распад. До недавнего времени для экспериментальных исследований структуры  $S_\beta(E)$  широко использовались спектрометры полного поглощения гамма-излучения и методы спектроскопии полного поглощения  $\gamma$ -лучей (TAGS), не обладающие высоким энергетическим разрешением.

Развитие экспериментальной техники позволяет применять методы ядерной спектроскопии с высоким энергетическим разрешением для изучения тонкой структуры  $S_\beta(E)$ . Наиболее полно такие исследования проведены для ряда ядер, полученных на комплексе ЯСНАПП-2 в Дубне.

В обзоре проанализированы работы, посвященные измерению тонкой структуры  $S_\beta(E)$  в сферических и деформированных ядрах. Применение современных методов ядерной спектроскопии позволило выявить связанное с деформацией ядра расщепление пиков в  $S_\beta(E)$  для переходов типа Гамова–Теллера (GT). Экспериментально доказан резонансный характер  $S_\beta(E)$  для переходов первого порядка запрета (FF-переходов) как для сферических, так и для деформированных ядер. Показано, что при некоторых значениях энергий возбуждения в ядрах FF-переходы по интенсивности могут быть соизмеримы с GT-переходами. Рассмотрены критерии проверки полноты схем распада атомных ядер. Проведено сравнение  $S_\beta(E)$ , полученных методом TAGS и с помощью методов спектроскопии высокого разрешения.

The  $\beta$ -decay strength function  $S_\beta(E)$  is a distribution of the modules squared of the  $\beta$ -decay-type matrix elements in nuclear excitation energies  $E$ . The  $S_\beta(E)$  defines the characteristics of  $\beta$  decay, spectra of radiation accompanying the  $\beta$  decay, and probabilities of delayed processes following the  $\beta$  decay. Until recently total absorption  $\gamma$  spectrometers and total absorption  $\gamma$  rays spectroscopy (TAGS) having low energy resolution were used for experimental studies of the  $S_\beta(E)$  structure.

Development of experimental technique allows application of methods of nuclear spectroscopy with high energy resolution for studying  $S_\beta(E)$  fine structure. The most thorough study was performed for a series of nuclei produced on a YASNAPP-2 complex in Dubna.

In this review the  $S_\beta(E)$  fine structure research in spherical and deformed nuclei was analyzed. The use of modern methods of nuclear spectroscopy allowed us to detect splitting of peaks in  $S_\beta(E)$  for the Gamow–Teller (GT) transitions in deformed nuclei. This splitting can be associated with anisotropy of oscillation of the isovector nuclear density component. The resonance nature of  $S_\beta(E)$  for the first-forbidden  $\beta$  transitions (FF transitions) for both spherical and deformed nuclei was proved experimentally. It was shown that at some values of excitation energy in nuclei the intensities of

---

\*E-mail: izig@mail.ru

FF transitions can be comparable with those of GT transitions. Criteria for testing the completeness nuclear decay schemes were considered. The  $S_\beta(E)$  obtained by the TAGS method and those obtained with the use of high-resolution spectroscopy were compared.

PACS: 23.40.-s; 29.30.kV

## ВВЕДЕНИЕ

Бета-распад атомных ядер является зарядово-обменным процессом, в котором состояния ядер с большой долей зарядово-обменных конфигураций заселяются наиболее интенсивно.

Вероятность  $\beta$ -перехода пропорциональна произведению лептонной части, описываемой функцией Ферми  $f(Q_\beta - E)$ , и нуклонной части, описываемой силовой функцией  $\beta$ -распада  $S_\beta(E)$ . Поскольку функция Ферми быстро убывает с ростом  $E$ , интенсивность  $\beta$ -переходов при энергиях возбуждения  $E$ , превышающих 2–3 МэВ, в средних и тяжелых ядрах, как правило, мала. Однако с точки зрения структуры ядра и описания  $\beta$ -распада наибольший интерес представляет характер  $S_\beta(E)$  при энергиях возбуждения, превышающих 2–3 МэВ. Именно начиная с энергий возбуждения  $E > 2-3$  МэВ в  $S_\beta(E)$  появляются резонансы, обусловленные структурой ядра и остаточным спин-изоспиновым взаимодействием.

$S_\beta(E)$  является одной из важнейших характеристик атомного ядра и представляет собой распределение квадратов модулей матричных элементов  $\beta$ -распадного типа по энергиям возбуждения ядра  $E$ . При энергиях возбуждения  $E$  до величины  $Q_\beta$  (полной энергии  $\beta$ -распада)  $S_\beta(E)$  определяет характер  $\beta$ -распада и периоды полураспада ( $T_{1/2}$ ) материнских ядер по ветке  $\beta$ -распада, спектры  $\beta$ -частиц и нейтрино, испускаемых при  $\beta$ -распаде этих ядер, спектры  $\gamma$ -лучей и электронов внутренней конверсии, возникающих в результате разрядки в дочерних ядрах возбужденных при  $\beta$ -распаде состояний, а также спектры запаздывающих частиц, сопровождающих  $\beta$ -распад [1–4]. При более высоких энергиях возбуждения, не достигаемых при  $\beta$ -распаде,  $S_\beta(E)$  определяет сечения зарядово-обменных ядерных реакций, зависящих от ядерных матричных элементов  $\beta$ -распадного типа.

До недавнего времени в экспериментальных исследованиях структуры  $S_\beta(E)$  как в России, так и за рубежом использовались спектрометры полного поглощения и методы спектроскопии полного поглощения гамма-излучения (TAGS) [2, 5–10]. Принцип TAGS (Total Absorption Gamma Spectroscopy) заключается в том, что сопровождающее  $\beta$ -распад  $\gamma$ -излучение суммируется при регистрации большими кристаллами NaI в  $4\pi$ -геометрии. Если эффективность полного поглощения  $\gamma$ -квантов достаточно велика, то в спектрах удастся идентифицировать пики полного поглощения, интенсивность которых определяется лишь вероятностью заселения уровней при  $\beta$ -распаде. Данным

методом удалось экспериментально доказать резонансную структуру  $S_\beta(E)$  для  $\beta$ -переходов Гамова–Теллера (GT) [2, 11–16]. Было установлено, что резонансная структура  $S_\beta(E)$  является характерной особенностью GT  $\beta$ -распада ядер, удаленных от полосы  $\beta$ -стабильности [2]. Господствовавшая до этих исследований статистическая модель предполагала отсутствие резонансов в  $S_\beta(E)$ , и считалось, что хорошим приближением для средних и тяжелых ядер при энергиях возбуждения  $E > 2\text{--}3$  МэВ является  $S_\beta(E) = \text{const}$  или  $S_\beta(E) \sim \rho(E)$ , где  $\rho(E)$  — плотность уровней дочернего ядра [17]. Исследования с использованием TAGS однозначно выявили нестатистический характер  $S_\beta(E)$  для  $\beta$ -распада типа GT и стимулировали развитие микроскопических моделей, учитывающих структуру атомного ядра, для расчета  $S_\beta(E)$  [2].

Однако методы TAGS имеют ряд недостатков, связанных с низким энергетическим разрешением спектрометров на базе NaI. В TAGS-спектрах удается определить один или два пика полного поглощения, часто возникают неопределенности, связанные с наличием изобарных примесей в анализируемом источнике, не представляется возможным разделить  $\beta$ -переходы Гамова–Теллера и первого запрета и измерить тонкую структуру  $S_\beta(E)$ , часто возникают трудности в обработке спектров, в частности при учете внутренней конверсии  $\gamma$ -излучения и идентификации пиков полного поглощения.

Поэтому представляется весьма актуальным измерить  $S_\beta(E)$  с помощью методов  $\gamma$ -спектроскопии высокого разрешения. Данная задача весьма трудоемка, и до недавнего времени подобные измерения не проводились. В последнее десятилетие, в связи с большим прогрессом в области получения моноизотопных радиоактивных препаратов и появления полупроводниковых HPGe-детекторов  $\gamma$ -излучения, сочетающих в себе высокое энергетическое разрешение с приемлемой эффективностью, стало возможным проводить измерения  $S_\beta(E)$  с высокой достоверностью и высоким энергетическим разрешением. Это позволяет на качественно новом уровне детально исследовать  $S_\beta(E)$ .

В ОИЯИ (Дубна) впервые была решена задача достаточно полного определения  $S_\beta(E)$  и ее тонкой структуры с помощью методов ядерной спектроскопии высокого разрешения. Указанная задача требует больших трудозатрат и решена лишь для  $\beta^+$ /EC-распада сферического ядра  $^{147g}\text{Tb}$  ( $T_{1/2} = 1,6$  ч,  $Q_{\text{EC}} = 4,6$  МэВ), деформированного ядра  $^{160g}\text{Ho}$  ( $T_{1/2} = 25,6$  мин,  $Q_{\text{EC}} = 3,3$  МэВ) и изомера  $^{160m}\text{Ho}$  ( $T_{1/2} = 5,02$  ч,  $Q_{\text{EC}} = 3346$  кэВ) [18–21]. Указанные ядра были выбраны в качестве объектов исследования вследствие относительно большой величины  $Q_{\text{EC}}$ , подходящих периодов полураспада  $T_{1/2}$  и существующей в ОИЯИ возможности эффективного получения моноизотопных радиоактивных источников высокой чистоты для данных ядер.

С помощью методов ядерной спектроскопии высокого разрешения было однозначно доказано наличие резонансной структуры  $S_\beta(E)$  не только для

переходов типа Гамова–Теллера (GT-переходов), но и для  $\beta$ -переходов первого порядка запрета (FF-переходов) [21]. Было экспериментально показано, что для некоторых значений энергии возбуждения дочерних ядер вероятность  $\beta^+$ /EC-переходов первого порядка запрета сравнима с вероятностью  $\beta^+$ /EC-переходов Гамова–Теллера. Для FF-переходов резонансная структура  $S_\beta(E)$  была выявлена впервые именно благодаря методам спектроскопии высокого разрешения [20, 21].

Использование методов ядерной спектроскопии высокого разрешения позволило обнаружить расщепление резонанса в  $S_\beta(E)$  на два компонента для  $\beta^+$ /EC-распада деформированного ядра  $^{160g}\text{Ho}$ . Данное расщепление связывается с анизотропией колебаний изовекторной плотности в деформированных ядрах [20].

В обзоре рассматриваются методы исследования структуры силовых функций  $\beta$ -распада ядер, приводятся и обсуждаются результаты измерений  $S_\beta(E)$  с помощью методов TAGS и методов ядерной спектроскопии высокого разрешения. Особое внимание уделяется исследованиям тонкой структуры  $S_\beta(E)$ .

## 1. СИЛОВАЯ ФУНКЦИЯ $\beta$ -РАСПАДА $S_\beta(E)$

Длины волн лептонов, испускаемых при бета-распаде атомных ядер, обычно велики по сравнению с размерами ядра, поэтому в ряде случаев можно считать, что амплитуда бета-переходов не зависит от положения и скорости нуклонов [22, 23]. Переходы, которые можно рассматривать в таком приближении, называются разрешенными. Четность ядерных состояний при разрешенных переходах не изменяется. Разрешенные бета-переходы можно разбить на два типа — переходы Ферми (F) и переходы Гамова–Теллера (GT). Для переходов Ферми оператор перехода не зависит от спина нуклона, а для переходов Гамова–Теллера — пропорционален оператору спина распадающегося нуклона. Оператор перехода типа Ферми представляет собой составляющую полного изоспина, и матричный элемент перехода зависит только от изоспиновых квантовых чисел начального и конечного состояний ядер. При переходах Ферми не происходит обмена угловыми моментами между нуклонами и лептонами, а при переходах Гамова–Теллера передается единичный угловой момент. Таким образом, правила отбора по спину ядра  $\Delta I = 0$  для F-переходов и  $\Delta I = 0, 1$  (0–0-переходы запрещены) для GT-переходов.

Для бета-распада с изменением четности ядерных состояний или с изменением спина ядра больше чем на единицу разрешенные матричные элементы равны нулю, и поэтому необходимо учитывать зависимость операторов бета-переходов от пространственных координат и скоростей нуклонов. Такие бета-переходы называются запрещенными, и их принято классифицировать по порядку их запрещенности  $n$ , т. е. по сумме степеней координат и ско-

ростей нуклонов, которые фигурируют в операторе бета-перехода. При этом изменение четности ядерных состояний  $\pi$  всегда равно  $\pi = (-1)^n$ . Переходы, для которых мультипольность перехода  $\lambda = n + 1$ , называются уникальными  $n$ -запрещенными переходами.

При бета-распаде ядер часто кулоновская энергия электрона внутри ядра велика по сравнению с энергией перехода  $\Delta E$  и массой покоя электрона ( $\xi$ -приближение). Кулоновскую энергию представляют безразмерным параметром  $\xi$ :

$$\xi = \frac{Ze^2}{2Rm_e c^2} \approx 1,2ZA^{-1/3}, \quad (1)$$

зависящим от радиуса ядра  $R$ , заряда  $Z$ , и условия  $\xi$ -приближения (или кулоновского приближения) записываются в виде

$$\xi \gg \frac{\Delta E}{m_e c^2}, \quad \xi \gg 1. \quad (2)$$

Вероятность бета-перехода при распаде ядра можно представить в виде произведения лептонной части, описываемой функцией Ферми, и ядерной части, описываемой силовой функцией [2, 3, 22, 23], т. е. выделить силовую функцию бета-переходов  $S_\beta(E)$  лишь в следующих случаях:

- 1) для разрешенных бета-переходов;
- 2) для переходов первого порядка запрета в  $\xi$ -приближении;
- 3) для уникальных  $n$ -запрещенных переходов.

Силовая функция  $S_\beta(E)$  определяет распределение по энергии возбуждения ядра  $E$  элементарных зарядово-обменных возбуждений и их комбинаций типа протон-частица ( $\pi p$ ) – нейтронная дырка ( $\nu h$ ), связанных в момент  $J^\pi$ :  $[\pi p \otimes \nu h]_{J^\pi}$ , и нейтрон-частица ( $\nu p$ ) – протонная дырка ( $\pi h$ ), связанных в момент  $J^\pi$ :  $[\nu p \otimes \pi h]_{J^\pi}$ . Силовая функция  $\beta$ -переходов Ферми учитывает возбуждения  $[\pi p \otimes \nu h]_{0^+}$  или  $[\nu p \otimes \pi h]_{0^+}$ . Ввиду того, что изоспин является достаточно хорошим квантовым числом, сила переходов Ферми сосредоточена в области изобар-аналогового резонанса (IAR). Силовая функция  $\beta$ -переходов Гамова–Теллера описывает возбуждения  $[\pi p \otimes \nu h]_{1^+}$  или  $[\nu p \otimes \pi h]_{1^+}$ . Для  $\beta$ -переходов первого запрета (FF-переходов) в кулоновском приближении ( $\xi$ -приближении) существенны конфигурации  $[\pi p \otimes \nu h]_{0^-, 1^-}$  или  $[\nu p \otimes \pi h]_{0^-, 1^-}$ . Остаточное взаимодействие может вызывать коллективизацию данных конфигураций и появление резонансов в  $S_\beta(E)$ . Расчет положения и интенсивности резонансов в  $S_\beta(E)$  производится с использованием различных микроскопических моделей [2, 3, 7, 24–31].

Для  $\beta$ -переходов Гамова–Теллера, первого запрета в  $\xi$ -приближении (кулоновское приближение) и уникальных переходов первого запрета приведенные вероятности  $B(\text{GT})$ ,  $[B(\lambda\pi = 0^-) + B(\lambda\pi = 1^-)]$ ,  $[B(\lambda\pi = 2^-)]$ , период

полураспада  $T_{1/2}$ , заселенности уровней  $I(E)$ , силовая функция  $S_\beta(E)$  и величины  $ft$  связаны следующим образом [2, 18, 20]:

$$\frac{d(I(E))}{dE} = S_\beta(E)T_{1/2}f(Q_\beta - E), \quad (3)$$

$$(T_{1/2})^{-1} = \int S_\beta(E) f(Q_\beta - E)dE, \quad (4)$$

$$\int_{\Delta E} S_\beta(E) dE = \sum_{\Delta E} \frac{1}{ft}, \quad (5)$$

$$B(\text{GT}, E) = \frac{D(g_V^2/4\pi)}{ft}, \quad (6)$$

$$B(\text{GT}, E) = \frac{g_A^2}{4\pi} \frac{|\langle I_f || \Sigma t_\pm(k) \sigma_\mu(k) || I_i \rangle|^2}{2I_i + 1}, \quad (7)$$

$$[B(\lambda\pi = 2^-)] = \frac{3}{4} \frac{Dg_V^2/4\pi}{ft}, \quad (8)$$

$$[B(\lambda\pi = 0^-) + B(\lambda\pi = 1^-)] = \frac{Dg_V^2/4\pi}{ft}, \quad (9)$$

где  $Q_\beta$  — полная энергия  $\beta$ -распада;  $f(Q_\beta - E)$  — функция Ферми;  $t$  — частичный период  $\beta$ -распада на уровень с энергией возбуждения  $E$ ;  $|\langle I_f || \Sigma t_\pm(k) \sigma_\mu(k) || I_i \rangle|$  — приведенный ядерный матричный элемент для перехода Гамова–Теллера;  $I_i$  — спин материнского ядра;  $I_f$  — спин уровня дочернего ядра;  $D = (6147 \pm 7)$  с. Измерив заселенности уровней при  $\beta$ -распаде, можно определить приведенные вероятности и силовую функцию бета-распада. Приведенные вероятности бета-распада пропорциональны квадратам ядерных матричных элементов и отражают тонкую структуру силовых функций бета-распада.

Схемы состояний, существенных при анализе силовых функций переходов Гамова–Теллера, представлены на рис. 1 и в табл. 1. При  $\beta^+$ /ЕС-распаде ядер с  $N > Z$  имеется только одно значение изоспина  $T_0 + 1$  при связывании изоспина ( $\tau = 1$ ,  $\mu_\tau = +1$ ) конфигураций типа протонная дырка–нейтрон-частица  $[\nu p \otimes \pi h]_{1+}$  с изоспином нейтронного избытка  $T_0$ . Наиболее коллективное состояние, образующееся из возбуждений типа  $[\nu p \otimes \pi h]_{1+}$ , имеющих изоспин  $\tau = 1$  и проекцию изоспина  $\mu_\tau = +1$ , также называется [2] резонансом Гамова–Теллера с  $\mu_\tau = +1$ . И если для  $\beta^-$ -распада ядер с  $N > Z$  резонанс Гамова–Теллера ( $\tau = 1$ ,  $\mu_\tau = -1$ ) находится (рис. 1) при энергиях возбуждения, превышающих  $Q_\beta$ , и энергетически не доступен для заселения при  $\beta^-$ -распаде, то резонанс Гамова–Теллера с  $\mu_\tau = +1$  может заселяться при  $\beta^+$ /ЕС-распаде [2]. В настоящее время не существует теории, адекватно опи-

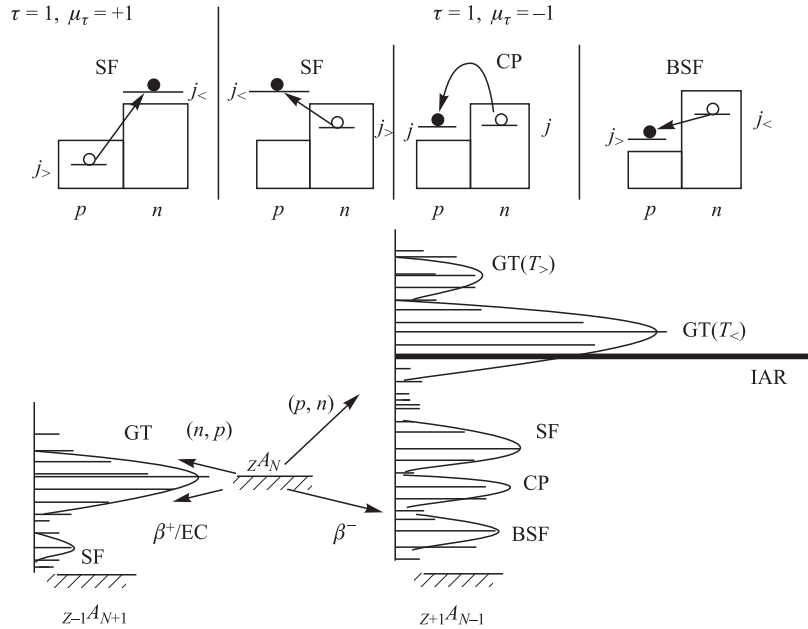


Рис. 1. Схемы силовых функций  $\beta$ -переходов Гамова–Теллера и конфигураций, формирующих резонансы в  $S_\beta(E)$  для GT-переходов. Сила переходов Ферми сосредоточена в области изобар-аналогового резонанса (IAR)

связывающей силовые функции  $\beta$ -распада деформированных ядер. Теория позволяет делать достаточно корректные расчеты для положения и относительных интенсивностей пиков в силовых функциях переходов Гамова–Теллера для сферических и слабодеформированных ядер [7, 29, 32]. Для абсолютных интенсивностей пиков силовых функций расхождение между экспериментом и теорией в сферических ядрах достигает от десятков до сотен процентов. Теория предсказывает более интенсивные пики в силовых функциях, чем наблюдаемые в эксперименте [7, 15, 16, 33, 34]. Коллективные возбуждения Гамова–Теллера с макроскопической точки зрения представляют собой колебания спин-изоспиновой плотности без изменения формы ядра, поэтому положение максимума в силовой функции в сферическом пределе должно примерно соответствовать центру тяжести силовой функции деформированного ядра [2]. Наличие резонансной структуры у силовых функций  $\beta$ -переходов Гамова–Теллера связано с остаточным спин-изоспиновым взаимодействием и частичной  $SU(4)$  спин-изоспиновой симметрией в ядрах [2, 3, 35].

Для  $\beta^+/\text{EC}$ -переходов первого запрета (FF-переходов) в  $\xi$ -приближении существенны конфигурации типа протонная дырка – нейтрон-частица, связанные в момент  $0^-$  или  $1^-$ :  $[\nu p \otimes \pi h]_{0^-, 1^-}$ . Вопрос о наличии или отсутствии



Таблица 1. Схемы конфигураций, существенных при рассмотрении  $S_{\beta}(E)$  для  $\beta$ -переходов Ферми (F) и Гамова–Теллера (GT)

Материнское состояние (Parent state, PS)	
Аналоговое состояние. Изобар-аналоговый резонанс (Analogue state, Isobar Analogue Resonance, IAR)	$\sqrt{\frac{1}{2T_0+1}}$ + $\sqrt{\frac{2T_0}{2T_0+1}}$
Антианалоговое состояние (Anti-analogue state, AIAS)	$\sqrt{\frac{2T_0}{2T_0+1}}$ - $\sqrt{\frac{1}{2T_0+1}}$
Поляризация остова (Core-polarised state, CP)	
Спин-флип (Spin-flip state, SF)	$j_2 = l - \frac{1}{2}$ $j_2 = l + \frac{1}{2}$ + ...
Обратный спин-флип (Back-spin-flip state, BSF)	$j_2 = l + \frac{1}{2}$ $j_2 = l - \frac{1}{2}$

резонансной структуры у силовой функции для  $\beta^-$ - или  $\beta^+$ /ЕС-переходов первого запрета до недавнего времени оставался открытым.

Сильное смешивание конфигураций при высоких энергиях возбуждения и плотностях уровней должно приводить к исчезновению резонансной структуры в силовых функциях  $S_{\beta}(E)$ . Наличие приближенной симметрии ядерного взаимодействия препятствует смешиванию ряда конфигураций. Для конфигураций, заселяемых при  $\beta^+$ /ЕС-переходах Гамова–Теллера, смешивание более слабое вследствие частичной  $SU(4)$  спин-изоспиновой симметрии взаимодействия в ядре [2, 3, 34]. Для  $\beta^+$ /ЕС-переходов первого запрета также наблюдается резонансная структура в силовой функции  $S_{\beta}(E)$  [21]. Наличие резонансной структуры в силовой функции  $\beta^+$ /ЕС-переходов первого запрета может свидетельствовать о существовании соответствующей первому запрету частичной симметрии взаимодействия в ядре. Это означает, что конфигурации, заселяемые при переходах первого запрета, также выделены по приближенным квантовым числам среди соседних уровней дочернего ядра и сильного смешивания конфигураций не происходит.

Силловые функции для  $\beta^-$ - и  $\beta^+$ -переходов качественно различны, что проявляется, прежде всего, в полной сумме  $\beta^-$ - и  $\beta^+$ -переходов. Существует правило сумм [36, 37], которое связывает полные суммы  $S_-$  и  $S_+$  следующим соотношением:

$$S_- - S_+ \approx 3(N - Z), \quad (10)$$

где

$$S_{\pm} = \sum_i B_{\pm}(\text{GT}, E_i), \quad (11)$$

а величина  $B_{\pm}$  связана с  $S_{\beta}(E)$  соотношениями (5)–(9).

Величины  $S_{\pm}$  называют интегральной силой возбуждений Гамова–Теллера (GT) в каналах  $\beta^-$ - или  $\beta^+$ -распадов. Из (10) следует, что в ядрах с  $N > Z$  полная сумма  $\beta^-$ -переходов существенно больше, чем полная сумма  $\beta^+$ -переходов. Однако это не означает, естественно, что величины приведенных периодов полураспада  $\log ft$  для  $\beta^-$ - и  $\beta^+$ -переходов между низколежащими состояниями должны сильно различаться. На данном этапе наших рассуждений о физической значимости величины  $S_{\pm}$  удобнее всего употребить широко известную схему силовых функций  $\beta$ -распада для ядер с  $N > Z$ , изображенную на рис. 1. Из указанной схемы видно, что при  $\beta$ -распаде в энергетическое окно  $E < Q_{\beta}$  попадают далеко не все состояния, дающие вклад в полную сумму  $S_{\pm}$ . Известно [2, 3], что для ядер с  $N > Z$  более 90% полной силы  $\beta^-$ -переходов Гамова–Теллера сосредоточены в резонансе Гамова–Теллера, который по энергии возбуждения находится значительно выше энергии  $\beta$ -распада  $Q_{\beta}$  (рис. 1), а это означает, что величины сил, соответствующих полным суммам  $S_-$  и  $S_+$ , в области низких энергий возбуждения могут быть сравнимы.

Как видно из рис. 1, в  $S_{\beta}(E)$  для  $\beta^-$ -переходов основной максимум (GT) расположен в области изобар-аналогового состояния (IAR). Основным максимум в  $S_{\beta}(E)$  для  $\beta^+$ /EC-распада способен достаточно сильно изменять свое местоположение при переходе от ядра к ядру. Однако если основной максимум в  $S_{\beta}(E)$  для  $\beta^-$ -переходов ( $\mu_{\tau} = -1$ ) в принципе нереализуем при  $\beta^-$ -распаде ядер с  $N > Z$ , то резонанс Гамова–Теллера с проекцией изоспина  $\mu_{\tau} = +1$  в отдельных ядрах может опускаться ниже полной энергии  $\beta$ -распада  $Q_{\beta}$  [2, 3, 7] и должен наблюдаться при  $\beta^+$ /EC-распадах ядер.

В ядрах с  $Z > N$  ситуация с  $\beta^-$ - и  $\beta^+$ -распадами меняется на противоположную.

Различия в  $S_{\beta^+}$  и  $S_{\beta^-}$  мало сказываются на вероятностях  $\beta^-$ - и  $\beta^+$ -переходов в ядрах вблизи полосы  $\beta$ -стабильности. Эти различия проявляются более сильно при удалении от полосы  $\beta$ -стабильности и возрастании полной энергии  $\beta$ -распада  $Q_{\beta}$ .

В настоящее время микроскопические расчеты  $S_{\beta}(E)$  проводятся без надлежащего учета деформации атомных ядер. Развитие микроскопических

моделей с учетом деформации ядер является актуальной, но пока должным образом не решенной задачей.

Информация о структуре  $S_\beta(E)$  важна для многих областей ядерной физики [2–4]. Для предсказания периодов полураспада ядер, удаленных от полосы  $\beta$ -стабильности, проверки полноты схем распада, расчетов энерговыделения от распада продуктов деления в ядерных реакторах, расчетов спектров запаздывающих частиц, расчетов вероятности запаздывающего деления и оценки барьеров деления для ядер, удаленных от полосы  $\beta$ -стабильности, расчетов образования различных изотопов в астрофизических процессах, развития микроскопических моделей расчетов  $S_\beta(E)$ , особенно в деформированных ядрах, необходимо иметь надежные экспериментальные данные о структуре  $S_\beta(E)$ .

**1.1. Функция Ферми.** Надежные расчеты функции Ферми необходимы для анализа экспериментальных данных по бета-распаду ядер и проведения сравнения теории с экспериментом. Существуют обширные таблицы и программы для расчета функции Ферми [22, 38].

Анализ  $\beta$ -распада ядер основан на существовании двух малых параметров: скорость нуклона в ядре меньше скорости света ( $v/c \leq 0,2$ ) и радиус ядра  $R$  меньше длины волны де Бройля  $\lambda$  вылетевших из ядра частиц. При увеличении на единицу орбитального момента, уносимого частицей, вероятность перехода снижается в  $\sim (R/\lambda)^2$  раз. Поэтому испускание электрона и антинейтрино, уносящих орбитальный момент  $\ell = 1\hbar$ , имеет вероятность в среднем в  $10^2$ – $10^3$  раз меньшую по сравнению со случаем, когда частицы не уносят орбитального момента [22]. Все бета-переходы разделяются на группы разрешенных и запрещенных переходов. Группа наиболее вероятных, т. е. разрешенных, переходов соответствует изменению спина ядра  $\Delta I = 0, \pm 1$  без изменения четности, причем легкие частицы не уносят орбитального момента, т. е.  $\ell = 0$ . Для разрешенных  $\beta$ -переходов можно пренебречь изменением лептонных волновых функций внутри ядра и зависимостью вероятности перехода от положения нуклона. В данном приближении вероятность  $\beta$ -перехода можно представить в виде произведения лептонной и ядерной части. Ядерную часть характеризуют либо с помощью  $S_\beta(E)$ , либо с помощью величин  $ft$ , где  $t$  — парциальный период по ветке бета-распада,  $f$  — интегральная функция Ферми [22, 23], характеризующая фазовое пространство для лептонов. Функция  $f$  — это интегралы по спектрам электронов, и при их вычислении необходимо рассматривать движение электронов в кулоновском поле ядра и атомных электронов [22, 23, 26]. При прецизионном анализе необходимо помнить о сделанных допущениях, а именно: вклад релятивистских матричных элементов, которые отброшены в обычном приближении, может составлять 0,25 % на интервал энергии  $1m_e c^2 \sim 511$  кэВ. Возможное изменение лептонной части волновой функции внутри ядра может давать эффект в несколько десятых процента на интервал энергии  $1m_e c^2$ . Величина полной поправки

к вероятности бета-перехода менее 1 % для легких ядер и может достигать до 5 % для тяжелых ядер [22].

Вероятность  $\beta$ -перехода в единицу времени записывается как [22, 26]

$$W_{fi} = \frac{2\pi}{\hbar} |H_{fi}|^2 \frac{dk_e dk_\nu}{(2\pi)^6} \delta(E_0 - \varepsilon_e - E_\nu), \quad (12)$$

где  $E_0$  — полная энергия  $\beta$ -распада;  $|H_{fi}|$  — матричный элемент  $\beta$ -перехода из начального состояния ( $i$ ) в конечное состояние ( $f$ );  $k_e, \varepsilon_e$  — волновой вектор и энергия электрона;  $k_\nu, E_\nu$  — волновой вектор и энергия антинейтрино. Матричный элемент  $|H_{fi}|$  содержит произведение ядерного матричного элемента  $|M_{fi}|$  и плотности состояний для электрона и антинейтрино. В результате имеем распределение электронов по энергии [22, 26]:

$$\frac{dW_{fi}}{d\varepsilon} = \frac{m_e c^2}{\hbar} \frac{\Gamma^2}{\pi^3} \rho(\varepsilon, Z, R) |M_{fi}|^2 (\varepsilon_0 - \varepsilon)^2 \varepsilon (\varepsilon^2 - 1)^{1/2}, \quad (13)$$

$$\varepsilon = \frac{E_e}{m_e c^2}, \quad \varepsilon_0 = \frac{E_0}{m_e c^2}, \quad B \equiv \frac{\hbar}{m_e c^2} \frac{2\pi^3 \ln 2}{\Gamma^2} = 4131 \text{ с.}$$

Функция  $\rho(\varepsilon, Z, R)$  описывает влияние электрического поля атома на распределение  $\beta$ -частиц по энергиям. В случае разрешенных  $\beta$ -переходов, при интегрировании по энергии электронов, можно разделить ядерную и лептонную части в выражении для полной вероятности  $\beta$ -переходов  $W_{fi}$ , которая в данном случае записывается как

$$W_{fi} = \frac{m_e c^2}{\hbar} \frac{\Gamma^2}{2\pi^3} |M_{fi}|^2 f(Z, R, \varepsilon_0), \quad (14)$$

где

$$f(Z, R, \varepsilon_0) = \int_1^{\varepsilon_0} \rho(Z, \varepsilon, R) (\varepsilon_0 - \varepsilon)^2 \varepsilon (\varepsilon^2 - 1)^{1/2} d\varepsilon \quad (15)$$

— интегральная функция Ферми.

Для периода полураспада в случае разрешенных  $\beta$ -переходов имеем [22, 26]:

$$T_{1/2} = \frac{\ln 2}{\sum W_{fi}} = \frac{\hbar}{m_0 c^2} \frac{2\pi^3 \ln 2}{\Gamma^2} \left\{ \sum |M_{fi}|^2 f(Z, R, \varepsilon_0) \right\}^{-1} = \left\{ \sum S_\beta(E_f) f(Z, R, \varepsilon_0) \right\}^{-1}, \quad (16)$$

$$\text{где } S_\beta(E) = \frac{|M_{fi}|^2}{B}, \quad B \equiv 4213 \text{ с} \equiv D \frac{g_V^2}{g_A^2} \equiv \frac{2\pi^3 \ln 2}{m_0 c^2 \Gamma^2}, \quad D \equiv \frac{2\pi^3 \hbar^7 \ln 2}{g_V^2 m_0^5 c^4}.$$

Вышеприведенные формулы применимы как для  $\beta^-$ -, так и для  $\beta^+$ -распадов. Для электронного захвата формулы несколько модифицируются [22, 26]. Соотношение между  $\beta^+$ -распадом и электронным захватом зависит от энергии перехода. Для полных энергий электронного захвата  $E_0^{\text{EC}}$  и  $\beta^+$ -распада  $E_0^{\beta^+}$  справедливо соотношение

$$E_0^{\text{EC}} = E_0^{\beta^+} + 2m_0c^2 - B_e, \quad (17)$$

где  $B_e$  — энергия связи электрона, т.е. электронный захват может иметь место, когда  $\beta^+$ -распад энергетически запрещен.

Вероятность электронного захвата с  $K$ -оболочки:

$$dW_{fi}^{(k)} = \frac{2\pi}{\hbar} |H_{fi}^{(k)}|^2 \frac{dk_\nu}{(2\pi)^3} \delta(E_0 - E_\nu), \quad (18)$$

$$W_{fi}^{(k)} = \frac{m_e c^2 \Gamma^2}{\hbar \pi} \left( \frac{\hbar}{m_e c} \right)^3 \rho_k(Z, \varepsilon, P) |M_{fi}|^2 \varepsilon_\nu^2, \quad (19)$$

$$T_{1/2} = \frac{\ln 2}{\sum (W_{fi}^\beta + W_{fi}^{(k)})}. \quad (20)$$

Помимо  $K$ -захвата часто (например, при описании процесса запаздывающего деления) возникает необходимость учитывать захват электронов с  $L$ -оболочки. При учете захвата с  $L_1$ -подоболочки ( $q_{L_1}$  — энергия, уносимая нейтрино):

$$W_{fi}^{k+L_1} = \frac{m_e c^2 \Gamma^2}{\pi} |M_{fi}|^2 \frac{1}{4\pi} (g_{-1,k}^2 q_k^2 - g_{-1,L_1}^2 q_{L_1}^2), \quad (21)$$

$$W_f^{k+L_1} = \frac{m_e c^2 \Gamma^2}{2\pi^3} |M_{fi}|^2 f_{fi}^{k+L_1}(Z, R, \varepsilon), \quad (22)$$

$$f_{fi}^{k+L_1}(Z, R, \varepsilon) = \frac{\pi}{2} (g_{-1,k}^2 q_k^2 - g_{-1,L_1}^2 q_{L_1}^2). \quad (23)$$

Для функций  $f$  и  $g$  составлены разнообразные таблицы [22, 38].

Различные варианты расчета интегральной функции Ферми  $f(\varepsilon, Z, R)$  отличаются, как правило, на несколько процентов, и лишь в редких случаях ( $Q_\beta > 10$  МэВ и  $Z > 80$ ) различия могут достигать до 20 %.

Интегральную функцию Ферми удобно разбить на два множителя:

$$f(E, Z, R) = \Phi(E) F_0(E, Z, R), \quad (24)$$

где  $E$  — полная энергия  $\beta$ -частицы, включая массу покоя в единицах  $m_e c^2$ ,

$$\Phi(E) = (E^2 - 1)^{1/2} (2E^4 + 9E^2 - 8) / 60 + E \ln [E + (E^2 - 1)^{1/2}]. \quad (25)$$

Функция  $\Phi(E)$  довольно сильно зависит от энергии и вычисляется аналитически, а функция  $F_0(E, Z, R)$  рассчитывается численно и удобна для интерполяции. В таблицах часто приводят именно функцию  $F_0(E, Z, R)$ .

**1.2. Периоды полураспада.** Учет структуры  $S_\beta(E)$  важен при анализе периодов полураспада  $T_{1/2}$  по ветке  $\beta$ -распада атомных ядер. Актуальной задачей является основанное на структурной  $S_\beta(E)$  предсказание  $T_{1/2}$  для ядер, удаленных от полосы  $\beta$ -стабильности. Данные о величинах  $T_{1/2}$  необходимы для планирования экспериментов, для расчета ряда астрофизических процессов [2–4, 29], для различных технологических применений [34, 39–41].

Значение  $T_{1/2}$  по ветке  $\beta$ -распада связано с  $S_\beta(E)$  следующим образом:

$$T_{1/2} = \sum_n \int S_\beta^n(E) f_n(Z, Q_\beta - E) dE, \quad 0 \leq E \leq Q_\beta, \quad (26)$$

где  $n$  — порядок запрета  $\beta$ -распада.

Расхождение между теоретическими и экспериментальными данными в несколько раз — это типичная ситуация для существующих в настоящее время модельных расчетов. В отдельных случаях расхождения между теорией и экспериментом могут доходить до 2–3 порядков величины. Примеры расчета  $T_{1/2}$  в QRPA-модели [26] приведены на рис. 2, 3. Как видно из рис. 2 и 3, наибольшие расхождения между теоретическими и экспериментальными значениями наблюдаются при малых  $Q_\beta$  и больших  $T_{1/2}$ . Данное обстоятельство связано с тем, что при малых  $Q_\beta$  имеется наибольшая чувствительность к точности расчетов положения и интенсивности пиков  $S_\beta(E)$ . Малым значениям  $Q_\beta$  соответствуют малые значения  $f_n(Z, Q_\beta - E)$  и большие значения  $T_{1/2}$ .

Использование CQRPA-модели [29, 42] улучшает согласие с экспериментом, однако возможность расхождения теоретических расчетов с эксперимен-

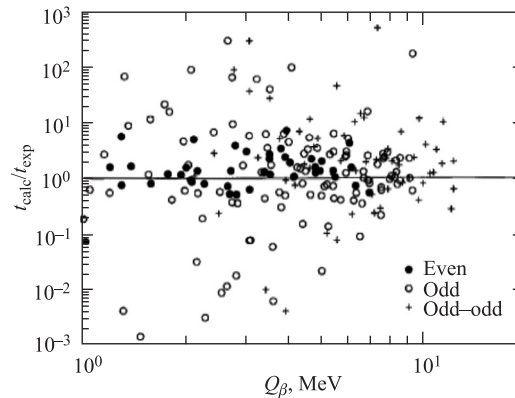


Рис. 2. Отношение рассчитанных ( $t_{\text{calc}}$ ) и измеренных ( $t_{\text{exp}}$ ) значений  $T_{1/2}$  по ветке  $\beta^+/\text{EC}$ -распада в зависимости от полной энергии  $\beta$ -распада  $Q_\beta$  (QRPA-модель) [26]

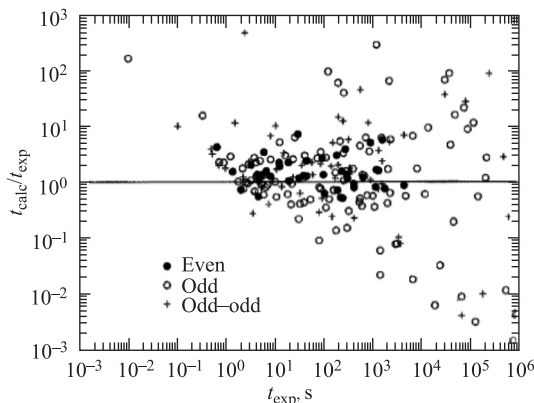


Рис. 3. Отношение рассчитанных ( $t_{calc}$ ) и измеренных ( $t_{exp}$ ) значений  $T_{1/2}$  по ветке  $\beta^+$ /ЕС-распада в зависимости от экспериментального ( $t_{exp}$ ) значения  $T_{1/2}$  (QRPA-модель) [26]

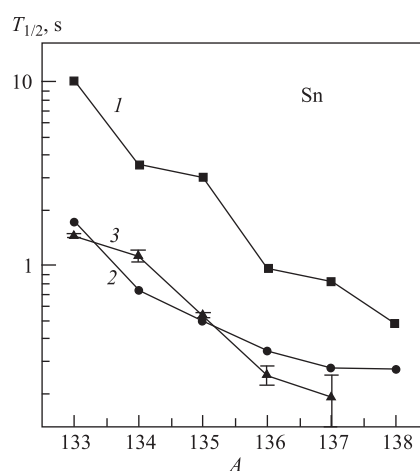
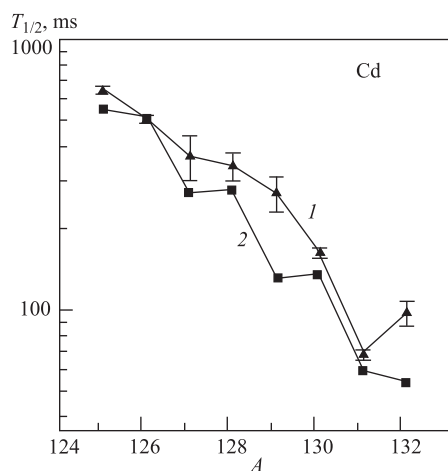


Рис. 4. Теоретические и экспериментальные значения  $T_{1/2}$  для  $\beta^-$ -распада изотопов кадмия [29, 42]. 1 — экспериментальные данные; 2 — расчет по CQRPA-модели, учтены GT- и FF-переходы

Рис. 5. Теоретические и экспериментальные значения  $T_{1/2}$  для  $\beta^-$ -распада изотопов олова [29, 42]. 1 — расчет по RPA-модели, учтены только GT-переходы; 2 — расчет по CQRPA-модели, учтены GT- и FF-переходы; 3 — экспериментальные данные

тальными данными в несколько раз также свойственна данной модели (рис. 4 и 5). В области кадмия учет FF-переходов уменьшает  $T_{1/2}$  не более чем в 1,5–2 раза. В области олова учет FF-переходов радикальным образом улучшает

согласие теоретических расчетов с экспериментальными данными [29, 42]. Учет FF-переходов особенно важен при расчетах, когда интенсивность GT-переходов мала при небольших энергиях возбуждения, и в низкоэнергетической области.

**1.3. Полнота схем распада.** Для решения многих задач как фундаментального, так и прикладного характера необходимо иметь достаточно полные схемы распада атомных ядер. Особенно это касается задач расчета энерговыделения при распаде ядер, включая распад продуктов деления, образующихся в атомных реакторах [40, 41, 43–45]. Существуют расхождения между экспериментальными данными и расчетом энерговыделения от радиоактивного распада продуктов деления [40, 41, 43–45]. Пример такого расхождения для  $\gamma$ -распада продуктов деления  $^{239}\text{Pu}$  показан на рис. 6. Аналогичные расхождения имеются для  $\beta$ -распада продуктов деления  $^{239}\text{Pu}$  и распада продуктов деления  $^{233,235,238}\text{U}$  [40, 41, 43, 44]. Указанные расхождения связываются с неполнотой схем распада и погрешностями в определении  $Q_\beta$  [40, 41, 43–45].

В [39] с помощью TAGS было показано, что более 50 % интенсивности  $\beta^-$ -переходов может быть не отображено в схемах распада продуктов деления. Ситуация с неполнотой схем распада типична [45] как для  $\beta^-$ -, так и для  $\beta^+$ /EC-распадов ядер с  $T_{1/2} < 1$  ч. Для получения наиболее хорошего согласия между расчетными и экспериментальными данными по энерговыделению необходимо иметь более полные схемы распада ядер и метод оценки полноты схем распада. Комбинация методов TAGS с методами ядерной спек-

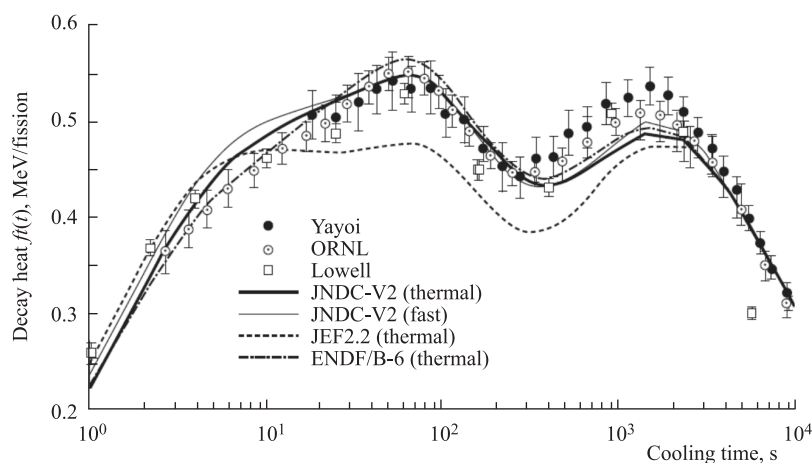


Рис. 6. Зависимость функции  $ft(t)$  от  $t$  для  $\gamma$ -распада продуктов деления  $^{239}\text{Pu}$ , где  $f(t)$  — энерговыделение,  $t$  — время после деления [43], экспериментальные и расчетные данные. Расчеты проведены с использованием различных баз данных [43]. Заметно различие между расчетными и экспериментальными данными в области от 300 до 3000 с



троскопии высокого разрешения позволяет эффективно выявлять степень неполноты схем распада [34, 45–47] и проводить измерения  $Q_\beta$  с точностью до 20 кэВ [48]. Критерием достаточной полноты схемы распада является совпадение, в пределах экспериментальных погрешностей, силовых функций  $S_\beta(E)$ , полученных с помощью TAGS-методов и методов ядерной спектроскопии высокого разрешения [34, 45, 47].

**1.4. Влияние структуры  $S_\beta(E)$  на вероятность запаздывающих процессов.** Вероятность  $\beta$ -запаздывающих процессов  $P_{\beta d}$  определяется следующим образом [2, 49–51]:

$$P_{\beta d} = \frac{\int_0^{Q_\beta} S_\beta(E) f(Q_\beta - E) \Gamma_d(E) / \Gamma_{\text{tot}}(E) dE}{\int_0^{Q_\beta} S_\beta(E) f(Q_\beta - E) dE}, \quad (27)$$

где  $\Gamma_d(E)$  — ширина запаздывающего процесса;  $\Gamma_{\text{tot}}(E)$  — полная ширина.

Поскольку для расчетов величины  $P_{\beta d}$  необходимо знать энергии и относительные интенсивности пиков в  $S_\beta(E)$ , во многих случаях теория дает достаточно корректные значения  $P_{\beta d}$ . Однако в случае, когда в энергетически разрешенную область  $Q_\beta$  попадает лишь «хвост» от пика  $S_\beta(E)$ , расчет дает корректный результат только при учете тонкой структуры  $S_\beta(E)$  [52]. При этом особенно существенна область энергий возбуждения в дочернем ядре [52]  $\delta = Q_\beta - E_{\text{th}}$ , где  $E_{\text{th}} = E_{\text{II}}$  для запаздывающего деления,  $E_{\text{th}} = B_n$  для запаздывающих нейтронов,  $E_{\text{th}} = B_p + (E_{p0}) + q$  для запаздывающих протонов,  $E_{\text{II}}$  — энергия минимума во второй потенциальной яме для двугорбого барьера деления,  $B_n$  — энергия связи нейтрона,  $B_p$  — энергия связи протона,  $E_{p0}$  — энергия возбуждения, при которой вероятность испускания протона сравнима с вероятностью гамма-излучения,  $q \approx 1-2$  МэВ. Итак,

$$P_{\beta d} \approx \frac{\int_{E_{\text{th}}}^{Q_\beta} S_\beta(E) f(Q_\beta - E) \Gamma_d(E) / \Gamma_{\text{tot}}(E) dE}{\int_0^{Q_\beta} S_\beta(E) f(Q_\beta - E) dE}. \quad (28)$$

Для вероятности запаздывающего деления, запаздывающих протонов и альфа-частиц чрезвычайно существенна структура  $S_\beta(E)$  в области энергий возбуждения  $\delta = Q_\beta - E_{\text{th}}$ . Для вероятности испускания запаздывающих нейтронов существенно интегральное значение  $S_\beta(E)$  в области  $Q_\beta - E_{\text{th}}$ . Естественно, при анализе спектров запаздывающих частиц во всех случаях существенна структура  $S_\beta(E)$ .

В случае, когда пик  $S_\beta(E)$  расположен вблизи  $Q_\beta$  (рис. 7, а) или  $E_{\text{th}}$  (рис. 7, б), весьма важна информация о тонкой структуре  $S_\beta(E)$  для корректного вычисления величины  $P_{\beta d}$ .

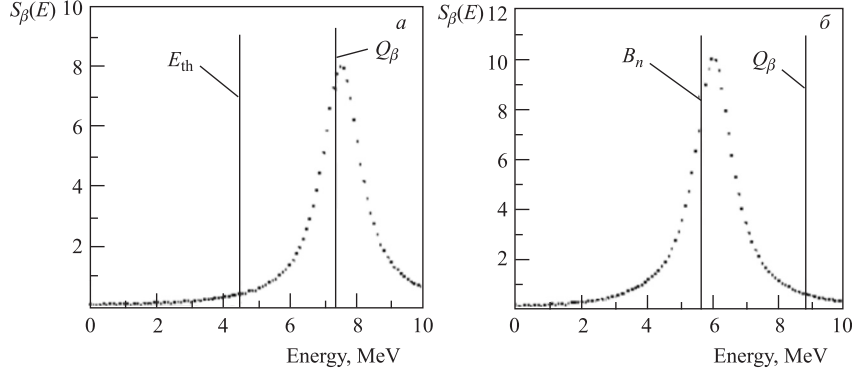


Рис. 7. Различные варианты положения пика  $S_\beta(E)$  в области энергий  $\delta = Q_\beta - E_{th}$  [52]

Для процессов испускания запаздывающих протонов, запаздывающих альфа-частиц, запаздывающего деления (27), (28), когда энергетическая зависимость функции  $\Gamma_d(E)/\Gamma_{tot}(E)$  более сильная, чем энергетическая зависимость функции  $f(Q_\beta - E)$ , значение  $P_{\beta d}$  увеличивается, когда пик в  $S_\beta(E)$  находится в области энергий  $Q_{EC}$  для  $\beta^+$ /EC-распада или  $Q_\beta$  (рис. 7, а) для  $\beta^-$ -распада. В этом случае статистическая теория [52], в которой полагается, что  $S_\beta(E) \sim \rho(E)$ , где  $\rho(E)$  — плотность уровней дочернего ядра, может случайно давать достаточно хорошо совпадающие с экспериментальными значения  $P_{\beta d}$ . Разумеется, для корректного расчета  $P_{\beta d}$  необходимо применять нестатистические подходы, учитывающие структуру  $S_\beta(E)$ .

Для испускания запаздывающих нейтронов при  $E > B_n$  зависимость от энергии функции  $f(Q_\beta - E)$  может оказаться более сильной, чем функции  $\Gamma_d(E)/\Gamma_{tot}(E)$ , и величина  $P_{\beta d}$  увеличится при смещении пика  $S_\beta(E)$  в область энергий  $E \sim B_n$  (рис. 7, б).

Для GT  $\beta^-$ -распада нейтронно-избыточных ядер два типа пиков в  $S_\beta(E)$  играют существенную роль. Один тип связан с конфигурациями типа обратный спин-флип (BSF, рис. 1, табл. 1), второй — с конфигурациями типа поляризация остова (CP, рис. 1, табл. 1). CP-пик соответствует ситуации, изображенной на рис. 7, а, BSF-пик соответствует ситуации на рис. 7, б.

Запаздывающее деление, т. е. деление ядер после  $\beta$ -распада, является уникальным средством изучения барьеров деления для ядер, удаленных от полосы  $\beta$ -стабильности. Однако для того чтобы получить информацию о барьере деления, необходимо знать форму  $S_\beta(E)$  [1].

Помимо  $S_\beta(E)$  вероятность запаздывающего процесса определяется отношением ширины  $\Gamma_d(E)/\Gamma_{tot}(E)$ . Спектр запаздывающих частиц зависит от структуры состояний ядер, заселяемых при  $\beta$ -распаде, и структуры состояний, заселяемых после запаздывающего процесса [2, 3]. Спектры запаздывающих

частиц определяются как формой и структурой силовой функции  $\beta$ -переходов  $S_\beta(E)$ , так и вероятностью испускания запаздывающих частиц из заселенных состояний или отношением  $\Gamma_d(E)/\Gamma_{\text{tot}}(E)$ . Например, при GT  $\beta^-$ -распаде ядра  $^{135}\text{Sb}$  заселяются трехквартичные состояния в ядре  $^{135}\text{Te}$ . Переход в основное состояние четно-четного ядра  $^{134}\text{Te}$  с испусканием запаздывающих нейтронов из трехквартичных состояний  $^{135}\text{Te}$  запрещен, если полагать основное состояние ядра  $^{134}\text{Te}$  квазичастичным вакуумом [2, 53]. В то же время испускание запаздывающих нейтронов с возбуждением  $2^+$ -состояния в  $^{134}\text{Te}$  разрешено вследствие различной структуры основного и возбужденного состояний. Данный вывод подтверждается экспериментально: для всех состояний, заселяемых при  $\beta^-$ -распаде  $^{135}\text{Sb}$ , нейтронный распад на основное состояние  $^{134}\text{Te}$  запрещен в 30–40 раз. Поэтому применение статистических методов к расчету отношения ширин  $\Gamma_d(E)/\Gamma_{\text{tot}}(E)$  в формуле (28) можно использовать лишь в качестве некоего приближения [2, 3].

Обычно при исследовании запаздывающих процессов учитывается резонансный характер  $S_\beta(E)$  для переходов Гамова–Теллера. Однако в последние годы появились экспериментальные данные о резонансном характере  $S_\beta(E)$  для переходов первого порядка запрета [21]. Влияние резонансного характера  $S_\beta(E)$  бета-переходов первого порядка запрета на вероятность запаздывающих процессов остается малоисследованной областью.

## 2. ЗАПАЗДЫВАЮЩЕЕ ДЕЛЕНИЕ

Схема запаздывающего деления (деления после  $\beta$ -распада [49]) приведена на рис. 8. При изучении запаздывающего деления можно получать информацию о барьерах деления ядер, достаточно удаленных от полосы стабильности. Вероятность запаздывающего деления (27), (28) существенным образом зависит от структуры силовой функции  $\beta$ -переходов.

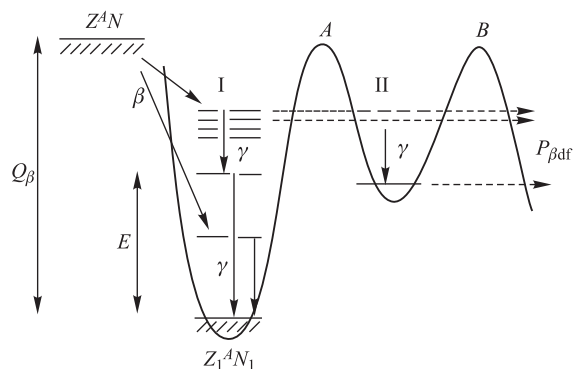


Рис. 8. Схема  $\beta$ -запаздывающего деления ( $\beta df$ ) ядер. Указаны высоты внутреннего (A) и внешнего (B) барьеров деления дочернего ядра

Первые исследования влияния структуры силовой функции  $\beta$ -переходов на вероятность запаздывающего деления были проведены в работе [1]. Затем развитый в работе [1] метод описания запаздывающих процессов с учетом структуры  $S_\beta(E)$  был применен к анализу запаздывающего деления широкого круга ядер [2–4, 54–60].

**2.1. Силовые функции  $\beta^-$ - и  $\beta^+$ /ЕС-распадов и запаздывающее деление актинидных ядер.** Именно учет структуры  $S_\beta(E)$  позволил впервые корректно описать процесс запаздывающего деления для  $^{236,238}\text{U}$  [1],  $^{232}\text{Pu}$ ,  $^{240}\text{Cm}$ ,  $^{244,248}\text{Cf}$ ,  $^{248}\text{Fm}$  [2, 55] и ряда других ядер [56–60].

Запаздывающее деление  $^{236,238}\text{U}$  [61–63] происходит после  $\beta$ -распада  $^{236,238}\text{Pa}$ . Расчет  $S_\beta(E)$  для  $^{236,238}\text{Pa}$  проведен [1] в рамках оболочечной модели с учетом остаточного взаимодействия Гамова–Теллера в приближении Тамма–Данкова (TDA-модель). Основная сила  $\beta$ -переходов (рис. 1 и 9) сосредоточена в гигантском резонансе Гамова–Теллера, расположенном вблизи изобар-аналогового состояния. При энергиях на 7–8 МэВ ниже аналога в ядрах  $^{236}\text{U}$  и  $^{238}\text{U}$  наблюдается второй максимум, обусловленный переходами типа спин-флип и поляризация остова. При энергиях примерно на 18 МэВ ниже аналога появляется максимум, обусловленный переходами типа обратный спин-флип (рис. 1, табл. 1, рис. 9), они и вносят основной вклад в вероятность запаздывающего деления  $^{236,238}\text{U}$ .

В табл. 2 приведены рассчитанные значения [1] вероятностей запаздывающего деления  $P_{\beta\text{df}}$  при различных предположениях о  $S_\beta(E)$  и экспериментальные данные [61–63]. Расчет  $P_{\beta\text{df}}$  при использовании статистических моделей для силовой функции  $\beta$ -распада  $S_\beta(E) = \text{const}$  приводит к значениям  $P_{\beta\text{df}}$ , на 2–3 порядка превышающим экспериментальные величины, а в случае пропорциональности силовой функции плотности уровней ядра  $S_\beta(E) \sim \rho(E)$  превышение составляет 5–6 порядков для  $^{236}\text{U}$  и  $^{238}\text{U}$ .

Таким образом, для запаздывающего деления  $^{236}\text{U}$  и  $^{238}\text{U}$  предположения, используемые в статистических моделях:  $S_\beta(E) = \text{const}$  и  $S_\beta(E) \sim \rho(E)$ , дают значения  $P_{\beta\text{df}}$ , значительно превышающие экспериментальные данные, в то время как при использовании нестатистической  $S_\beta(E)$ , в которой должным

Таблица 2. Вероятности запаздывающего деления  $P_{\beta\text{df}}$  для  $^{236}\text{U}$ ,  $^{238}\text{U}$ : экспериментальные значения и рассчитанные при различных предположениях о силовых функциях  $\beta$ -распада

Ядро	$P_{\beta\text{df}}$ при различном выборе $S_\beta$			Эксперимент
	$S_\beta = \text{const}$	$S_\beta \sim \rho(E)$	TDA-модель	
$^{236}\text{U}$	$6 \cdot 10^{-7}$	$6 \cdot 10^{-4}$	$10^{-12}$	$10^{-9}$
$^{238}\text{U}$	$2 \cdot 10^{-5}$	$10^{-2}$	$10^{-8}$	$10^{-8}$

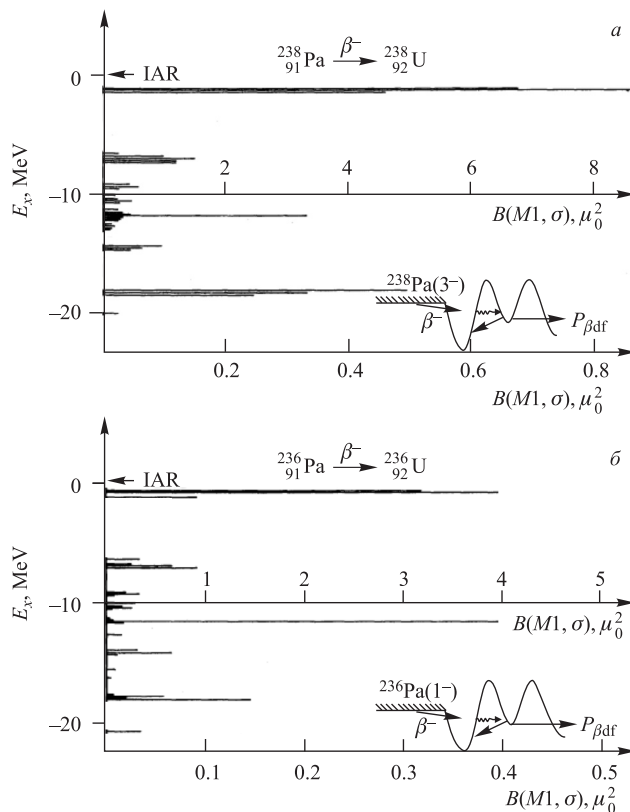


Рис. 9. Силовая функция  $S_{\beta}(E)$  для  $\beta^{-}$ -распада  $^{238}\text{Pa}$  (а),  $^{236}\text{Pa}$  (б) и барьеры деления  $^{236,238}\text{U}$ .  $B(M1, \sigma) = 11000 / [(T + 3/2)ft] = \text{const } S_{\beta}(E)$ , где  $T$  — изоспин основного состояния дочернего ядра,  $B(M1, \sigma)$  в единицах  $\mu_0^2$  ( $\mu_0$  — ядерный магнетон),  $ft$  в секундах

образом отражены эффекты структуры атомного ядра, наблюдается хорошее согласие с экспериментом для  $^{238}\text{U}$ . Расчет предсказывает уменьшение  $P_{\beta df}$  при переходе от  $^{238}\text{U}$  к  $^{236}\text{U}$ , что также соответствует экспериментальным данным.

В работе [64] исследовано запаздывающее деление  $^{256}\text{Fm}$  после  $\beta^{-}$ -распада  $^{256m}\text{Es}$ . Экспериментально установлено, что запаздывающее деление главным образом происходит после  $\beta^{-}$ -распада на уровень с энергией возбуждения  $E = 1425$  кэВ, т.е. экспериментально обнаружено проявление резонансной структуры  $S_{\beta}(E)$  в запаздывающем делении. Расчеты [3] также предсказывают наличие резонанса в  $S_{\beta}(E)$  при энергии возбуждения около 1,5 МэВ.

Данные [65, 66] по запаздывающему делению  $^{232}\text{Pu}$  после  $\beta^+$ /ЕС-распада  $^{232}\text{Am}$  были использованы в [66] для определения внутреннего барьера (барьера  $A$  на рис. 8) деления ядра  $^{232}\text{Pu}$ . Результаты работы [66] при использовании  $S_\beta(E) = \text{const}$  дали значение величины барьера деления на 2 МэВ выше, чем предсказывали расчеты по методу Струтинского [67]. На основании этого в работе [66] делался вывод о несоответствии «экспериментального» и теоретического значений барьеров деления для  $^{232}\text{Pu}$ . Однако, как

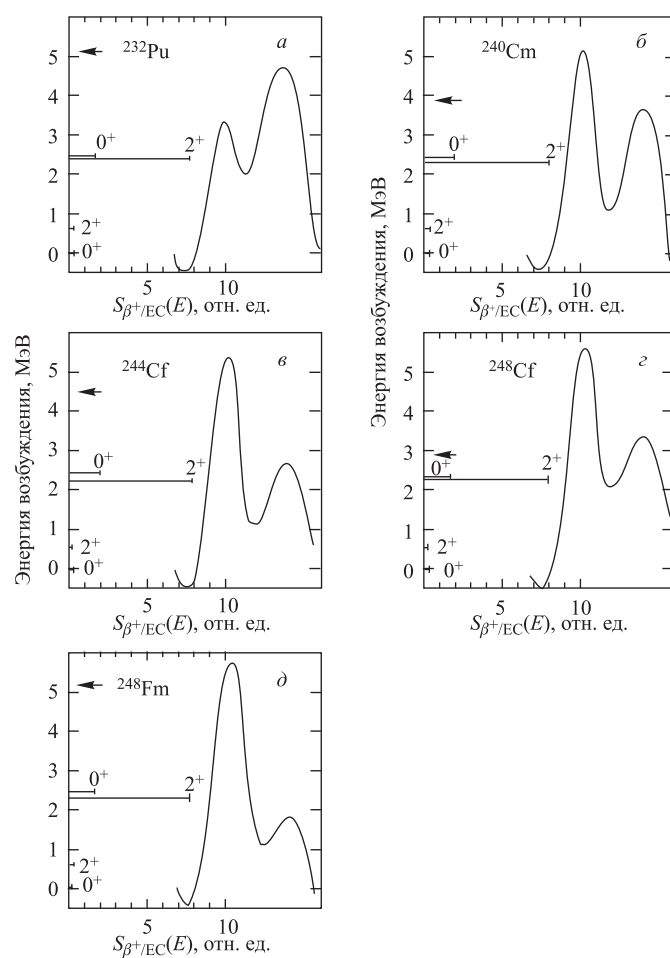


Рис. 10. Структура силовых функций  $\beta^+$ /ЕС-распада  $^{232}\text{Am}$ ,  $^{240}\text{Bk}$ ,  $^{244,248}\text{Es}$ ,  $^{248}\text{Md}$  и барьеры деления  $^{232}\text{Pu}$  (а),  $^{240}\text{Cm}$  (б),  $^{244}\text{Cf}$  (в),  $^{248}\text{Cf}$  (г),  $^{248}\text{Fm}$  (д). Значения полных энергий ЕС-распада вычислены с использованием массовых формул Гарви-Келсона [70] и указаны стрелкой

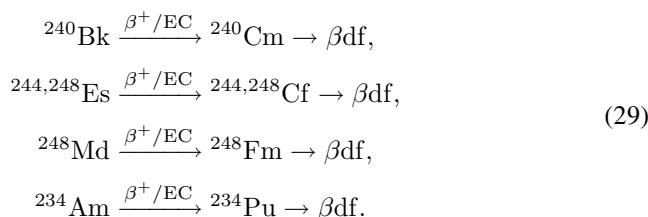
Таблица 3. Экспериментальные и теоретические значения вероятностей запаздывающего деления  $P_{\beta df}$  для ядер  $^{232}\text{Pu}$ ,  $^{244,248}\text{Cf}$ ,  $^{248}\text{Fm}$ ,  $^{240}\text{Cm}$

Ядро	$E_A(S)$ , МэВ	$E_B(S)$ , МэВ	$\omega_A$ , МэВ	$\omega_B$ , МэВ	$Q_\beta$ , МэВ	$P_{\beta df}^{\text{exp}}$	$P_{\beta df}^{\text{th}}$
$^{232}\text{Pu}$	4,0	4,2	0,9	0,6	5,2	$13_{-0,8}^{+4} \cdot 10^{-2}$	$5 \cdot 10^{-2}$
$^{244}\text{Cf}$	5,3	2,8	0,9	0,6	4,5	$5 \cdot 10^{-4}$	$4 \cdot 10^{-4}$
$^{248}\text{Fm}$	5,7	1,8	0,9	0,6	5,2	$3 \cdot 10^{-3}$	$2 \cdot 10^{-3}$
$^{248}\text{Cf}$	5,7	3,3	0,9	0,6	2,9	$< 10^{-7}$	$2 \cdot 10^{-7}$
$^{240}\text{Cm}$	5,2	3,7	0,9	0,6	3,9	$10^{-5}$	$9 \cdot 10^{-7}$

*Примечание.* Барьеры деления рассчитаны по методу Струтинского (S). При вычислениях  $P_{\beta df}$  использовались нестатистические силовые функции  $\beta^+$ /EC-распада, рассчитанные в TDA-модели.

было показано в [55], выбор  $S_\beta(E) = \text{const}$  не обоснован и не отражает специфику  $\beta^+$ /EC-распада в конкретном случае ядра  $^{232}\text{Am}$ . Расчет структуры  $S_\beta(E)$  для  $\beta^+$ /EC-распада  $^{232}\text{Am}$ , основанный на представлениях о зарядово-обменных возбуждениях Гамова–Теллера, проведен в [55]. Результаты расчета представлены на рис. 10. Нестатистические эффекты, приводящие к наличию резонансной структуры  $S_\beta(E)$ , вносят существенные изменения в анализ величин  $P_{\beta df}$ . На основе  $S_\beta(E)$ , в которой учтены эффекты структуры ядра, и экспериментальных данных о величине  $P_{\beta df}$  в работе [55] получены значения барьера деления ядра  $^{232}\text{Pu}$ , согласующиеся с барьером деления  $^{232}\text{Pu}$ , рассчитанным по методу Струтинского (табл. 3). Таким образом, нет оснований утверждать, что барьеры деления, рассчитанные по методу Струтинского, не позволяют описывать эксперименты по запаздывающему делению, как это делается в [66].

В области актинидов процесс запаздывающего деления, сопровождающего  $\beta^+$ /EC-распад, исследован [64, 66, 68, 69] также для:

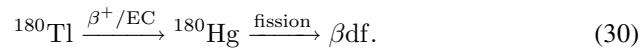


На рис. 10 и в табл. 3 приведены результаты расчетов  $S_\beta(E)$ ,  $P_{\beta df}^{\text{th}}$  и экспериментальные значения  $P_{\beta df}^{\text{exp}}$ . При расчете [55]  $P_{\beta df}$  пики в  $S_\beta(E)$  аппроксимировались гауссианом с шириной на половине высоты  $\text{FWHM} = 1$  МэВ.

Как видно из табл. 3, данные расчета  $S_\beta(E)$ ,  $P_{\beta df}^{th}$  вместе с рассчитанными по методу Струтинского барьерами деления позволяют неплохо описывать экспериментальные значения  $P_{\beta df}^{exp}$ .

**2.2. Силовые функции  $\beta^-$ - и  $\beta^+$ /ЕС-распадов и запаздывающее деление доактинидных ядер.** Большие возможности  $\beta$ -запаздывающего деления связаны с областью доактинидных ядер, где экспериментальные данные о вероятностях и механизме деления холодных ядер очень скудны.

В работе [71] сообщается о наблюдении  $\beta^+$ /ЕС-запаздывающего деления в области  $^{180}\text{Hg}$ . В [56–58] произведен расчет запаздывающего деления



Интегральная функция Ферми  $f(E, Z)$  для  $\beta^+$ /ЕС-распада  $^{180}\text{Tl}$  выбиралась в виде

$$f(E, Z) = f_{\beta^+}(E) + f_K(E) + f_{L_1}(E) + \dots \quad (31)$$

Слагаемые соответствуют вкладам от  $\beta^+$ -распада,  $K$ -захвата,  $L_1$ -захвата.

Для  $\beta^+$ /ЕС-распада  $^{180}\text{Tl}$  на уровень с энергией возбуждения  $E$  в  $^{180}\text{Hg}$  вклад  $\beta^+$ -перехода составляет около 10% при  $Q_{\text{EC}} - E = 3$  МэВ, становится сравнимым с вкладом от  $K$ -захвата при  $Q_{\text{EC}} - E = 5$  МэВ и в два раза превышает долю  $K$ -захвата при  $Q_{\text{EC}} - E = 6,5$  МэВ. Учет  $L_1$ -захвата может быть существенен при энергиях возбуждения вблизи  $Q_{\text{EC}}$ , где вероятность деления особенно велика.

Расчеты [56]  $S_\beta(E)$ , выполненные с учетом остаточного взаимодействия Гамова–Теллера в TDA-приближении, показывают, что  $S_\beta(E)$  в данном случае может быть представлена в виде двух гауссианов с ширинами FWHM  $\sim 1$  МэВ и сравнимыми интенсивностями (1 : 1,9). Расчеты [57]  $S_\beta(E)$ , выполненные в QRPA, дают  $S_\beta(E)$  (интенсивные пики в области энергий возбуждения 2–4 МэВ и 6–8 МэВ), качественно согласующиеся с TDA-расчетами. Различия в  $S_\beta(E)$ , полученные в QRPA- и TDA-расчетах, в данном случае несущественны при вычислениях  $P_{\beta df}$ , поскольку  $P_{\beta df}$  определяется пиками в области 6–8 МэВ и нужно знать  $S_\beta(E)$  с точностью до константы [59]. Экспериментальное значение величины вероятности запаздывающего деления для  $^{180}\text{Hg}$  по данным работы [71] составляет  $P_{\beta df} = 3 \cdot 10^{-(7 \pm 1)}$ . Оценки барьера деления по методу Струтинского для ядер, удаленных от полосы  $\beta$ -стабильности, дают значения высоты барьера, отличающиеся на несколько МэВ за счет макроскопической части [72]. Оценки [73] величины  $Q_{\text{EC}}$  дают значение  $Q_{\text{EC}} \approx 10,9$  МэВ для  $^{180}\text{Hg}$ . Запаздывающее деление  $^{180}\text{Hg}$  можно неплохо описать при высоте барьера  $B_f \approx 11$  МэВ и кривизне барьера  $\omega_f \approx 1$  МэВ [56, 57, 59, 71]. При указанных выше параметрах барьера деления и  $Q_{\text{EC}}$  расчеты с использованием QRPA дают значение  $P_{\beta df} = 10^{-8}$  [57], а с использованием TDA-модели  $P_{\beta df} = 10^{-7}$  [56], т. е.



довольно неплохо воспроизводят экспериментальные данные [71] по запаздывающему делению  $^{180}\text{Hg}$ . Полученное таким образом значение высоты барьера деления ядра  $^{180}\text{Hg}$  превышает примерно на 1 МэВ расчетное значение барьера, приведенное в [74].

В работе [75] также проделаны измерения вероятности запаздывающего деления  $^{180}\text{Hg}$ , но уже с использованием сепарированного пучка  $^{180}\text{Tl}$ . Получено значение  $P_{\beta\text{df}} = 3,6(7) \cdot 10^{-5}$ , имеющее более хорошее согласие с расчетами [74] барьера деления  $^{180}\text{Hg}$ .

Запаздывающее деление ряда доактинидных ядер можно использовать как тест для проверки различных моделей расчета  $S_{\beta}(E)$  или барьеров деления ядер. В данном случае весьма показательны исследования запаздывающего деления [58, 60]:



Экспериментальная оценка  $P_{\beta\text{df}}^{\text{exp}} < 2 \cdot 10^{-6}$  для  $^{232}\text{Ra}$  [76] резко противоречит сделанной до проведения экспериментов теоретической оценке  $P_{\beta\text{df}}^{\text{th}} \approx 0,3$  [77].

Расчеты величины  $P_{\beta\text{df}}$  очень чувствительны к таким параметрам, как  $Q_{\beta}$  — полная энергия  $\beta$ -распада,  $B_f$  — высота барьера деления и его кривизна  $\omega_f$ , структура  $S_{\beta}(E)$ . Расчеты [58, 60] показали, что для  $\beta^-$ -распада  $^{232}\text{Fr}$   $S_{\beta}(E)$  имеет максимум при энергии возбуждения  $E \approx 5,5$  МэВ и может быть аппроксимирована гауссианом с шириной FWHM  $\approx 1$  МэВ. Величину  $Q_{\beta}$  выбирали согласно [78]:  $Q_{\beta} = (5,7 \pm 0,7)$  МэВ. Если выбрать параметр эффективно-одногогорбого барьера деления  $^{232}\text{Ra}$   $\omega_f = 1$  МэВ, то экспериментальной оценке  $P_{\beta\text{df}}^{\text{exp}} < 2 \cdot 10^{-6}$  соответствует высота барьера  $B_f > 7,7$  МэВ. Теоретические расчеты [79, 80] показывают, что барьеры деления для  $^{228}\text{Ra}$  и  $^{232}\text{Ra}$  примерно одинаковы. Экспериментальные данные по эффективно-одногорбому барьеру деления  $^{228}\text{Ra}$  [81, 82] составляют  $B_f \approx 7,8$  МэВ,  $\omega_f \approx 0,9$  МэВ и  $B_f = (8,7 \pm 0,4)$  МэВ. Таким образом, оценка  $B_f > 7,7$  МэВ [58, 60] барьера в  $^{232}\text{Ra}$  согласуется с рядом теоретических и экспериментальных результатов. Слишком большое значение  $P_{\beta\text{df}}^{\text{th}} \approx 0,3$ , полученное в [77], может быть связано с некорректным выбором параметров барьера деления.

Таким образом, для ядер, удаленных от полосы  $\beta$ -стабильности, расчеты  $P_{\beta\text{df}}$  могут давать сильно расходящиеся результаты, если энергетические параметры ( $Q_{\beta}$ ,  $B_f$ ,  $S_{\beta}(E)$ ) известны недостаточно хорошо. В то же время решение обратной задачи, т.е. оценка параметров барьера деления из данных по запаздывающему делению, может дать ценную информацию. Однако в этом случае необходимо иметь сведения о структуре силовой функции  $\beta$ -переходов.

### 3. ЗАПАЗДЫВАЮЩИЕ ПРОТОНЫ

Схематически процесс испускания запаздывающих частиц показан на рис. 11. Спектр запаздывающих протонов [50] имеет характерную форму колокола, полуширина которого обычно составляет 2–3 МэВ. Поэтому спектр запаздывающих протонов позволяет просмотреть довольно узкий интервал энергий в  $S_\beta(E)$  и получать информацию о структуре  $S_\beta(E)$ . Если в данный интервал энергий не попадает пик от  $S_\beta(E)$ , то отмечается неплохое согласие формы спектра запаздывающих протонов со статистической моделью. Если в энергетический интервал, определяющий испускание запаздывающих протонов, попадает пик  $S_\beta(E)$ , то никакими вариациями параметров, без учета структуры  $S_\beta(E)$ , не удастся воспроизвести форму спектра запаздывающих протонов для широкого круга ядер [2].

Иллюстрацией первого варианта является спектр запаздывающих протонов для  $^{69}\text{Se}$  [83]. В этом случае (рис. 12) расчет по статистической модели с  $S_\beta(E) = \text{const}$  неплохо воспроизводит форму спектра.

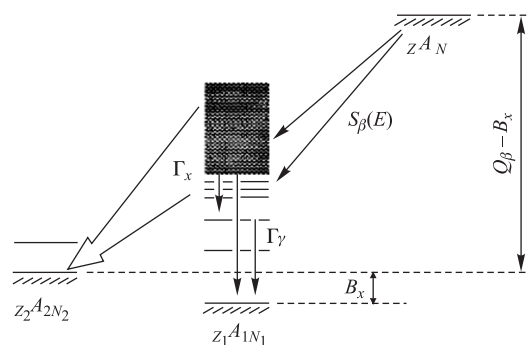


Рис. 11. Энергетические соотношения при испускании запаздывающих частиц.  $B_x$  — энергия связи испущенной после  $\beta$ -распада частицы;  $Q_\beta$  — полная энергия  $\beta$ -распада;  $\Gamma_x$  — ширина для канала распада с испусканием запаздывающей частицы

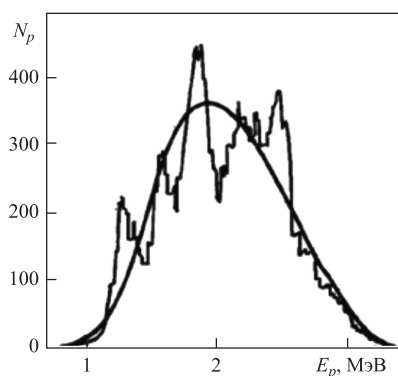


Рис. 12. Спектр запаздывающих протонов для  $^{69}\text{Se}$  [83]. Гладкая кривая — расчет по статистической модели с  $S_\beta(E) = \text{const}$

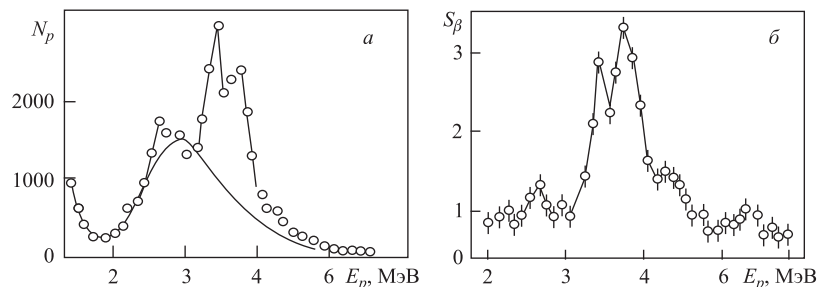


Рис. 13. Спектр запаздывающих протонов [84] для распада  $^{109}\text{Te}$  (а) и полученная из него  $S_{\beta}(E)$  (б)

Ярким примером второго варианта является спектр запаздывающих протонов для  $^{109}\text{Te}$  [84]. В этом случае только при учете резонансной структуры  $S_{\beta}(E)$  удастся описать спектр запаздывающих протонов (рис. 13).

Отметим, что в статистических расчетах, с моделированием различного рода флуктуаций, в принципе, можно получить «пики» в спектрах запаздывающих частиц, но невозможно описать закономерности в интенсивностях и положениях пиков при рассмотрении различных ядер [2, 85].

Адекватное описание резонансной структуры  $S_{\beta}(E)$  позволяет объяснить экспериментальные данные по форме спектров запаздывающих протонов для большого набора ядер [2, 3].

#### 4. ЗАПАЗДЫВАЮЩИЕ НЕЙТРОНЫ

Исследование запаздывающих нейтронов позволяет получать более детальную информацию о структуре  $S_{\beta}(E)$  в более широком энергетическом окне, чем исследование запаздывающих протонов, вследствие отсутствия кулоновского барьера.

Проявления резонансной структуры  $S_{\beta}(E)$  в спектрах запаздывающих нейтронов наблюдались для многих ядер [86, 87]. Пример силовой функции  $\beta^{-}$ -распада  $^{95}\text{Rb}$ , полученной из анализа спектра запаздывающих нейтронов [88], приведен на рис. 14, там же даны результаты расчетов  $S_{\beta}(E)$  в различных моделях. Из сравнения экспериментальных и теоретических данных [53, 88–90] видно, что только с учетом нестатистических эффектов в  $S_{\beta}(E)$  можно корректно описывать спектр запаздывающих нейтронов  $^{95}\text{Sr}$ .

Часто приводятся данные лишь о вероятностях испускания запаздывающих нейтронов  $P_n$ , т. е. вероятности испускания запаздывающего нейтрона

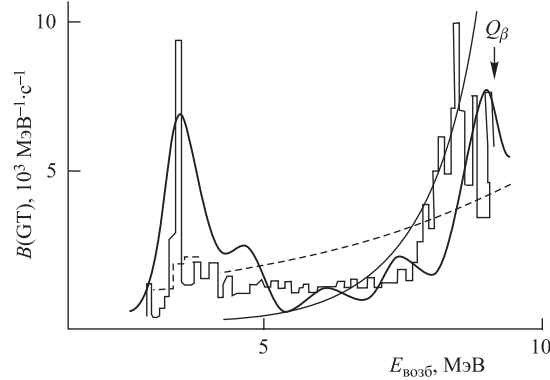


Рис. 14. Силовая функция  $\beta^-$ -распада  $^{95}\text{Rb}$ . Гистограмма —  $S_\beta(E)$  из обработки спектра запаздывающих нейтронов  $^{95}\text{Sr}$ ; штриховая кривая — расчет по гросс-теории; кривая с резонансными структурами (жирная сплошная) — расчет  $S_\beta(E)$  по микроскопической модели с учетом остаточного взаимодействия Гамова–Теллера; плавная кривая без резонансных структур (тонкая сплошная) — расчет по статистической модели  $S_\beta(E) \sim \rho(E)$

на один акт  $\beta^-$ -распада:

$$P_n = \frac{\int_{B_n}^{Q_\beta} S_\beta(E) f(Q_\beta - E) \frac{\Gamma_n}{\Gamma_{\text{tot}}} dE}{\int_{B_n}^{Q_\beta} S_\beta(E) f(Q_\beta - E) dE}, \quad (33)$$

где  $\Gamma_n/\Gamma_{\text{tot}}$  — отношение нейтронной и полной ширин для распада уровня с энергией возбуждения  $E$ .

Величины  $P_n$  колеблются от долей процента до десятков процентов [26, 91–93] и чувствительны к форме  $S_\beta(E)$ . Только с учетом структуры  $S_\beta(E)$  удается описывать значения  $P_n$  для широкого набора ядер [2–4].

Однако детального совпадения теоретических и экспериментальных значений  $P_n$  и спектральных характеристик запаздывающих нейтронов не всегда удается достичь. Это связано с тем, что необходимо использовать  $S_\beta(E)$  с реальными ширинами пиков, причем надежный расчет ширин довольно проблематичен. Кроме того, в расчетах используются статистические подходы к расчету величин  $\Gamma_n$  и  $\Gamma_{\text{tot}}$ , что является неким приближением [3].

Сделаем еще одно замечание, являющееся общим для вычисления характеристик запаздывающих процессов, а именно: расчеты имеют довольно низкую надежность, если плохо известны параметры, определяющие энергетику запаздывающих процессов ( $Q_\beta$ ,  $B_x$  и т. д.). Особенно это сказывается на расчетах, когда в  $S_\beta(E)$  имеются пики вблизи  $Q_\beta$  или  $B_x$ . Поэтому сле-

дует осторожно относиться к предсказаниям характеристик запаздывающих процессов в области ядер, сильно удаленных от полосы  $\beta$ -стабильности [3].

### 5. ЭКСПЕРИМЕНТАЛЬНЫЕ МЕТОДЫ ИЗМЕРЕНИЯ $S_\beta(E)$

Экспериментальные данные о структуре  $S_\beta(E)$  в широком диапазоне энергий возбуждения ядер, в том числе и при энергиях, превышающих полную энергию бета-распада  $Q_\beta$ , получают из измерений сечений зарядово-обменных ядерных реакций [94]. Однако круг исследуемых ядер ограничен набором имеющихся мишеней и пучков.

В данном обзоре мы остановимся на экспериментальных методах получения информации о структуре  $S_\beta(E)$  для ядер, испытывающих  $\beta^-$ - или  $\beta^+$ /ЕС-распад, т. е. при энергиях возбуждения дочерних ядер, не превышающих  $Q_\beta$ .

Качественные данные о структуре  $S_\beta(E)$  в ряде случаев можно получить из спектров запаздывающих частиц [50, 85–87].

$S_\beta(E)$  связана с экспериментально измеряемой плотностью вероятности заселения уровней дочернего ядра  $I(E)$  и записывается следующим образом [2]:

$$S_\beta(E) = \frac{I(E)}{T_{1/2}f(Q_\beta - E)}, \quad (34)$$

где  $T_{1/2}$  — период полураспада материнского ядра;  $f(Q_\beta - E)$  — функция Ферми;  $Q_\beta - E$  — энергия  $\beta$ -перехода.

Количественные данные о структуре  $S_\beta(E)$  в настоящее время получают с помощью методов гамма-спектроскопии, исследуя разрядку состояний, заселяемых при  $\beta$ -распаде [2–16, 18–21].

До недавнего времени в экспериментальных исследованиях структуры  $S_\beta(E)$  как в России, так и за рубежом в основном использовались спектрометры полного поглощения гамма-излучения и методы спектроскопии полного поглощения (TAGS) [2–16]. Данным методом удалось экспериментально доказать резонансную структуру  $S_\beta(E)$  для  $\beta$ -переходов Гамова–Теллера. Принцип TAGS заключается в том, что сопровождающее  $\beta$ -распад  $\gamma$ -излучение регистрируется большими кристаллами NaI в геометрии, близкой к  $4\pi$ . Если эффективность полного поглощения  $\gamma$ -квантов достаточно велика, то амплитуда импульса в таком спектрометре определяется суммарной энергией  $\gamma$ -квантов в каскаде, т. е. энергией уровня в дочернем ядре, заселяемого  $\beta$ -переходом, а интенсивность пика полного поглощения определяется вероятностью заселения этого уровня при  $\beta$ -распаде. При этом следует принять меры для защиты кристаллов от попадания в них  $\beta$ -частиц.

В первых спектрометрах полного поглощения [95] удалось получить телесный угол  $\Omega \sim 80\%$  от  $4\pi$  и эффективность полного поглощения энергии

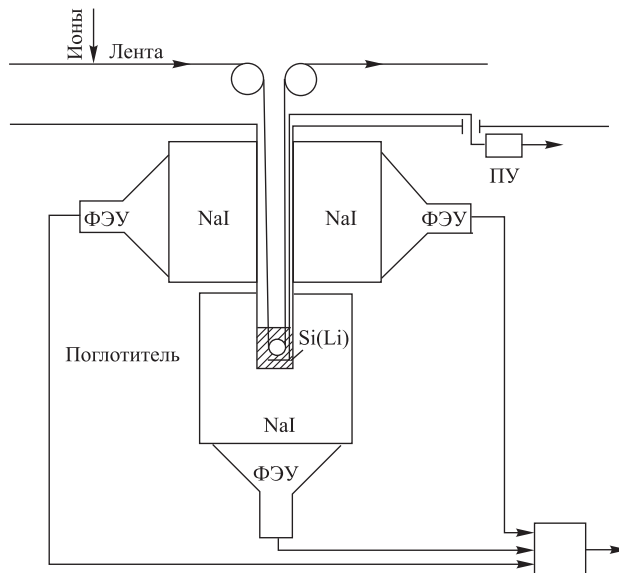


Рис. 15. Схема спектрометра полного поглощения [2, 5], обеспечивающего телесный угол  $\Omega \sim 4\pi$ . Si(Li)-детектор используется для регистрации  $\beta$ -частиц

каскада  $\gamma$ -квантов оказалась довольно сильно (как  $(\Omega/4\pi)^n$ ) зависящей от числа  $\gamma$ -квантов в каскаде  $n$ , т.е. от схемы распада возбужденных состояний. Ввиду принципиальной важности прямых измерений силовых функций  $\beta$ -распада в [2, 5] сформулированы условия, при которых спектрометр полного поглощения можно использовать для получения силовых функций  $\beta$ -переходов в широком интервале энергий возбуждения.

На основании проведенного анализа был построен спектрометр (рис. 15), обладающий практически  $4\pi$ -геометрией и с успехом применявшийся для доказательства резонансной структуры  $S_\beta(E)$  [2, 5, 11–16].

К настоящему времени существует несколько спектрометров полного поглощения, функционирующих в ряде ведущих ядерно-физических центров мира. Все эти спектрометры объединяет наличие в них NaI-кристаллов достаточно большого объема. Отличием являются лишь форма, количество и размеры используемых кристаллов в том или ином спектрометре, а также некоторые особенности в конструкциях последних. В табл. 4 приведены современные спектрометры полного поглощения  $\gamma$ -лучей.

В наших исследованиях мы использовали спектрометр полного поглощения  $\gamma$ -лучей [7], созданный в коллаборации Радиевый институт им. В. Г. Хлопина – ОИЯИ. Схемы детектирующей части и электронной системы, обеспечивающих работу этого спектрометра, представлены на рис. 16 и 17.

Таблица 4. Спектрометры полного поглощения  $\gamma$ -лучей

Спектрометр	Конструкция	Ссылка
ЛИЯФ	Три NaI(Tl)-кристалла, $\varnothing 200 \text{ мм} \times h 200 \text{ мм}$ $\varnothing 200 \text{ мм} \times h 100 \text{ мм}$ $\varnothing 200 \text{ мм} \times h 100 \text{ мм}$	[2, 5]
РИ-ОИЯИ	Два NaI(Tl)-кристалла, $\varnothing 200 \text{ мм} \times h 110 \text{ мм}$ $\varnothing 210 \text{ мм} \times h 140 \text{ мм}$	[7]
США	Один NaI(Tl)-кристалл, $\varnothing 254 \text{ мм} \times h 305 \text{ мм}$	[6]
GSI	Один NaI(Tl)-кристалл, $\varnothing 356 \text{ мм} \times h 356 \text{ мм}$	[8]
«Lucrecia», CERN	Один NaI(Tl)-кристалл, $\varnothing 380 \text{ мм} \times h 380 \text{ мм}$	[9]

Конструкция спектрометра обеспечивает  $4\pi$ -геометрию. NaI-кристаллы защищены от попадания в них  $\beta$ -частиц тонким слоем бериллия. Исследуемый радиоактивный источник устанавливается (рис. 16) по центру в нижней части колодца автоматически с помощью ленты или вручную. Спектрометр позволяет измерять спектры  $\gamma$ -излучения при  $\beta$ -распаде ядер как в совпадениях с  $\beta$ -частицами, так и без совпадений.

Калибровка спектрометра по энергии и эффективности полного поглощения  $\gamma$ -лучей  $\varepsilon_{\text{tot}}$  осуществлялась с помощью набора специально приготовленных радиоактивных источников с заранее известными активностями ( $^{137}\text{Cs}$ ,  $^{54}\text{Mn}$ ,  $^{88}\text{Y}$ ,  $^{60}\text{Co}$ ,  $^{22}\text{Na}$  и  $^{24}\text{Na}$ ). Было установлено, что для нашего спектрометра энергетическое разрешение составляет 12% при энергии 1 МэВ, а эффективность регистрации  $\gamma$ -лучей по пику полного поглощения  $\gamma$ -лучей — 46% и при этом в диапазоне энергий 0,1–4,5 МэВ экспоненциально зависит от суммарной энергии  $\gamma$ -переходов в каскаде  $E_\gamma$ :

$$\varepsilon_{\text{tot}} = \exp(-\alpha E_\gamma), \quad \alpha = 0,78(3) \text{ МэВ}^{-1}. \quad (35)$$

Если соотношение (35) выполняется, то интенсивность пика полного поглощения  $\gamma$ -лучей в каскаде пропорциональна вероятности заселения конкретного уровня в дочернем ядре при  $\beta$ -распаде и не зависит от схемы распада.

Действительно, если мы имеем некую схему разрядки уровня с энергией  $E$ , заселяемого при  $\beta$ -распаде, то при выполнении соотношения (35) эффективность регистрации для пика полного поглощения для каскада из  $n$

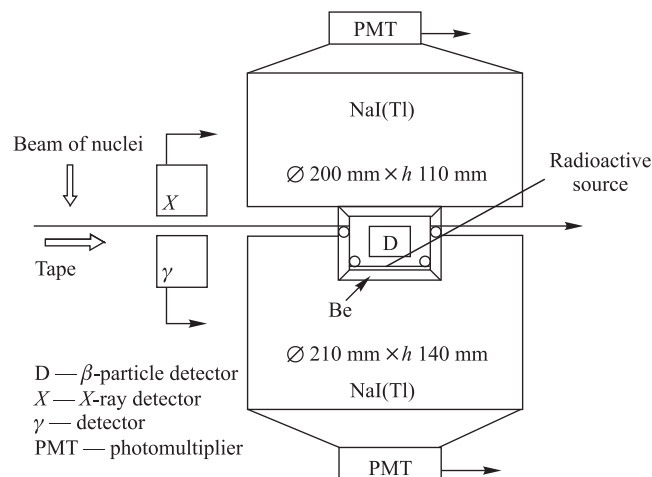


Рис. 16. Общая схема детектирующей части спектрометра полного поглощения  $\gamma$ -лучей [7] РИ-ОИЯИ для исследования силовых функций  $\beta$ -распада. D-детектор используется для регистрации  $\beta$ -частиц

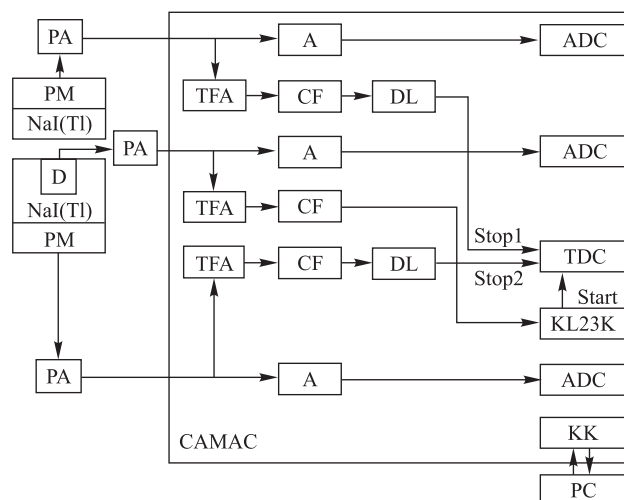


Рис. 17. Общая схема электронной системы спектрометра полного поглощения  $\gamma$ -лучей РИ-ОИЯИ для исследования силовых функций  $\beta$ -распада, где PM — фотоэлектронные умножители; D — Si(Au)-детектор; PA — предусилители; A — усилители; TFA — быстрые усилители; CF — временные дискриминаторы; DL — линии задержки; ADC — аналого-цифровые преобразователи; TDC — времяцифровой преобразователь; KL23K — блок управления; KK — крейт-контроллер



$\gamma$ -квантов с полной энергией  $E = E_{\gamma 1} + \dots + E_{\gamma n}$  определяется следующим образом:

$$\begin{aligned} \varepsilon_{\text{tot}}(E) &= \exp(-\alpha E_{\gamma 1}) \cdots \exp(-\alpha E_{\gamma n}) = \\ &= \exp(-\alpha(E_{\gamma 1} + \dots + E_{\gamma n})) = \exp(-\alpha E) \end{aligned} \quad (36)$$

и не зависит от схемы  $\gamma$ -переходов. Наличие конверсии  $\gamma$ -излучения вносит систематическую ошибку в анализ спектров полного поглощения. Учет данной ошибки может быть затруднен.

Выполнение соотношения (35) является существенным для спектрометра полного поглощения и требует экспериментальной проверки в диапазоне энергий до значений  $Q_{\beta}$ . Также следует обратить внимание на важность соблюдения  $4\pi$ -геометрии TAGS-спектрометра. Действительно, если для каскада из  $n$   $\gamma$ -квантов мы будем иметь телесный угол регистрации  $\Omega$ , отличный от  $4\pi$ , то для эффективности полного поглощения вместо (36) получим

$$\varepsilon_{\text{tot}}(E) = (\Omega/4\pi)^n \exp(-\alpha E), \quad (37)$$

т. е. сильную зависимость эффективности полного поглощения от схемы распада.

Процедура анализа и обработки измеренных нами спектров сводилась к выявлению пиков полного поглощения  $\gamma$ -лучей и определению распределения их интенсивностей  $I(E)$  в зависимости от энергии. И затем уже из полученных данных об  $I(E)$  строилась силовая функция  $\beta$ -распада  $S_{\beta}(E)$  с использованием соотношения (34).

Методы TAGS имеют ряд недостатков, связанных с низким энергетическим разрешением спектрометров на базе NaI. Поэтому представляют большой интерес исследования  $S_{\beta}(E)$  с помощью методов  $\gamma$ -спектроскопии высокого разрешения.

Определение  $S_{\beta}(E)$ , основанное на регистрации  $\gamma$ -квантов с помощью полупроводниковых HPGe-детекторов, позволяет получать качественно новую информацию о структуре  $S_{\beta}(E)$ . Стандартное энергетическое разрешение HPGe-детекторов, используемых для измерения спектров  $\gamma$ -лучей, составляет величину не хуже 0,2%. С использованием измеренных спектров  $\gamma$ -квантов, матриц  $\gamma\gamma t$ -совпадений и спектров электронов внутренней конверсии (ЭВК) строились схемы распада исследуемых ядер. Из данных о схеме распада определялись величины  $ft$ , и с помощью соотношения

$$\int_{\Delta E} S_{\beta}(E) dE = \sum_{\Delta E} 1/(ft) \quad (38)$$

извлекалась информация о силовой функции  $S_{\beta}(E)$ .

Нами впервые была решена задача определения  $S_{\beta}(E)$  и ее тонкой структуры с помощью методов ядерной спектроскопии высокого разрешения для  $\beta^+$ /ЕС-распада сферического ядра  $^{147g}\text{Tb}$  ( $T_{1/2} = 1,6$  ч,  $Q_{\text{ЕС}} = 4,6$  МэВ), деформированного ядра  $^{160g}\text{Ho}$  ( $T_{1/2} = 25,6$  мин,  $Q_{\text{ЕС}} = 3,3$  МэВ) и изомера  $^{160m}\text{Ho}$  ( $2^-$ ;  $5,02$  ч,  $Q_{\text{ЕС}} = 3346$  кэВ). Указанные ядра были выбраны в качестве объектов исследования вследствие достаточно большой величины  $Q_{\text{ЕС}}$ , достаточно больших периодов полураспада  $T_{1/2}$  и существующей в ОИЯИ (Дубна) возможности эффективного получения моноизотопных радиоактивных источников высокой чистоты для данных ядер на комплексе ЯСНАПП-2. В качестве источника в случае  $^{160m,g}\text{Ho}$  использовался материнский ему изотоп  $^{160}\text{Er}$  ( $T_{1/2} = 28,6$  ч).

Ниже приведены основные сведения о способах получения исследуемых радиоактивных источников и характеристиках используемых в этих измерениях спектрометров.

#### Получение радиоактивных источников

Фазотрон	$I_p = 2,5$ мкА, $E_p = 660$ МэВ
Мишень	Ta, масса 5 г
Реакция	Глубокого расщепления Ta + p
Химия	Выделение фракции ( $\Delta t \sim 2$ ч)
Масс-сепарация	Разделение фракции по изотопам ( $\Delta t \sim 30$ мин) на комплексе ЯСНАПП-2

#### Используемые спектрометры

Для спектров  $\gamma$ -лучей и  $\gamma\gamma t$ -совпадений

НРGe (19 %)	$\Delta E_{\gamma} = 1,8$ кэВ ( $^{60}\text{Co}$ )
НРGe (28 %)	$\Delta E_{\gamma} = 1,9$ кэВ ( $^{60}\text{Co}$ )
НРGe (50 %)	$\Delta E_{\gamma} = 2,0$ кэВ ( $^{60}\text{Co}$ )
НРGe (2 см <sup>3</sup> )	$\Delta E_{\gamma} = 580$ эВ на $\gamma 120$ кэВ.

Для спектров ЭВК

«Мини-апельсин»	$\Delta E_e = 2,3$ кэВ ( $^{207}\text{Bi}$ )
$\beta$ -спектрографы	$\Delta E_e = 0,03-0,05$ %.

Здесь необходимо отметить, что для достижения исчерпывающего и достоверного результата в определении  $S_{\beta}(E)$  методами  $\gamma$ -спектроскопии высокого разрешения полученные данные о схеме распада должны обладать предельной полнотой.

Комбинация спектроскопии полного поглощения  $\gamma$ -лучей с методами ядерной спектроскопии высокого разрешения позволяет делать заключения о полноте схем распада и выявлять области энергий возбуждения ядер, где схема распада не полна. Для достаточно полной схемы распада соотношение (38) должно выполняться в пределах погрешностей экспериментальных данных.

### 6. ТЕОРЕТИЧЕСКОЕ ОПИСАНИЕ $S_\beta(E)$

Теоретическое описание структуры силовых функций  $\beta$ -переходов на микроскопическом уровне тесно связано с задачами анализа астрофизических и термоядерных процессов, описанием величин  $\log ft$  для  $\beta$ -переходов между низколежащими состояниями атомных ядер, анализом запаздывающих процессов, изучением зарядово-обменных реакций и рядом других задач ядерной физики [1–3].

Введение остаточного взаимодействия типа

$$V_{\tau\tau} = \frac{1}{2}G_\tau(\tau_1\tau_2), \quad (39)$$

где  $\tau_i$  — оператор изоспина, позволило обосновать существование коллективного состояния — изотопического аналога (или изобар-аналогового резонанса, IAR, рис. 1) основного состояния материнского ядра, вбирающего в себя основную силу  $\beta$ -переходов типа Ферми, и как следствие — значительное ( $\sim 10^4$  раз) подавление  $0^+ \rightarrow 0^+$   $\beta$ -переходов [96, 97].

Матричные элементы GT на низколежащие состояния ядер также оказываются подавленными в 10–100 раз по сравнению с одночастичными оценками. Для объяснения подавления GT-переходов было введено остаточное взаимодействие [36, 98, 99]:

$$V_{\tau\tau\sigma\sigma} = \frac{1}{2}G_{\tau\sigma}(\tau_1\tau_2)(\sigma_1\sigma_2), \quad (40)$$

где  $\sigma_i$  — спиновый оператор.

Один из первых микроскопических расчетов структуры  $S_\beta(E)$  для  $\beta$ -переходов Гамова–Теллера с учетом оболочечных эффектов и остаточного взаимодействия (40), позволивший объяснить запаздывающее деление  $^{236,238}\text{U}$ , был проведен в [1]. Расчеты проводились с использованием приближения Тамма–Данкова (TDA-модель). Остановимся подробнее на TDA-модели, поскольку основные принципы, использованные в [1] и заложенные в эту модель, используются во многих современных исследованиях [2–4, 26, 27]. Гамильтониан системы ( $H$ ) представлялся в виде суммы одночастичной части ( $H_{\text{sp}}$ ) модели оболочек и зарядово-обменных остаточных взаимодействий ( $V$ ):

$$H = H_{\text{sp}} + V, \quad (41)$$

где  $V = V_{\tau\tau} + V_{\tau\tau\sigma\sigma}$ . В качестве базисных функций (рис. 1, табл. 1) выбирают состояния, получающиеся из материнского состояния  $|\Psi_0\rangle$  под действием оператора  $\beta$ -распада Гамова–Теллера [2]. Тогда матричные элементы остаточного взаимодействия  $V$  представляются в факторизованном виде:

$$\langle f|V|f'\rangle = \frac{G}{2}V_fV_{f'}, \quad (42)$$

где  $V_f$  пропорциональны [2] амплитудам  $\beta$ -переходов на базисные состояния  $|f\rangle$ , имеющие энергию возбуждения  $E_f$ .

Так, для  $\beta^-$ -распада Гамова–Теллера  $N$ -нечетного ядра базисные состояния включают одночастичные протонные  $|j_{p1}\rangle$  состояния и трехквaziчастичные состояния  $[[j_{n1} \otimes (j_p \otimes j_{n-})]_J]$  со спином  $J = j_{n1}, j_{n1} \pm 1$ .

Для  $\beta^+$ /EC-распада  $Z$ -нечетного ядра с нечетным протоном  $|j_{p1}\rangle$  базисные состояния включают одночастичные нейтронные  $|j_{n1}\rangle$  и трехквaziчастичные состояния  $[[j_{p1} \otimes (j_n \otimes j_{p-})]_J]$ ,  $J = j_{p1}, j_{p1} \pm 1$ .

Диагонализация матрицы

$$H_{ff'} = E_f \delta_{ff'} + G_{\tau\sigma} V_f V_{f'} \quad (43)$$

дает энергии и волновые функции состояний дочернего ядра, заселяемых при  $\beta$ -переходах Гамова–Теллера, и позволяет определить  $S_\beta(E)$  [2].

В характере  $S_\beta(E)$  для  $\beta^+$ - и  $\beta^-$ -распадов имеется принципиальное различие. В силовых функциях  $\beta^-$ -распада основной максимум расположен (рис. 1, табл. 1) вблизи изобар-аналогового резонанса (IAR). В  $S_\beta(E)$  для  $\beta^+$ -распада положение максимума нельзя связывать с положением аналога [2], так как в ядрах с  $T_Z > 0$  ( $N > Z$ ) нет аналогового состояния по отношению к  $\beta^+$ -распаду. Главное отличие состоит в том, что энергии возбуждения базисных состояний отсчитываются от основного состояния дочернего ядра, и результаты расчета  $S_\beta(E)$  для  $\beta^+$ -распада более чувствительны к выбору среднего поля и учету различного рода корреляций [2–4].

В последние годы широкое распространение при расчетах  $S_\beta(E)$  получили модели с использованием QRPA-приближения [100]. В подходах, использующих QRPA-приближение, волновые функции строятся на основе той или иной одночастичной модели со спариванием и остаточным взаимодействием зарядово-обменного типа, которое трактуется в приближении случайных фаз [101].

Модель оболочек в сочетании с QRPA дает возможность надлежащим образом учитывать структуру ядра и рассчитывать смешивание конфигураций, что позволяет описывать структуру  $S_\beta(E)$ . В BCS + RPA модели [102, 103] не учитывается динамическое спаривание (эффективное взаимодействие в канале частица–частица, которое называют еще протон-нейтронным спариванием с  $T = 0$ ). Учет  $pp$ -взаимодействия необходим для корректного описания  $S_\beta(E)$ . В полных уравнениях QRPA динамическое  $T = 0$  спаривание всегда присутствует, а изотриплетное  $T = 1$  спаривание включено на уровне BCS.

Учет непрерывного спектра для зарядово-обменных возбуждений в сверхтекучих ядрах выполнен в рамках континуум-QRPA-модели (CQRPA-модели). Расчет характеристик бета-распада в рамках CQRPA с учетом спаривания и эффективных спин-изоспиновых взаимодействий в каналах частица–частица ( $pp$ ), частица–дырка ( $ph$ ) для широкого круга ядер проделан в [29, 42, 104].

Для корректного описания  $S_{\beta}(E)$  с учетом спин-изоспинового взаимодействия в  $ph$ - и  $pp$ -каналах должен соблюдаться необходимый баланс отталкивательных и притягательных компонент взаимодействия, не приводящий к неустойчивости QRPA.

Одним из наиболее последовательных подходов с использованием сепарабельных  $ph$ - и  $pp$ -взаимодействий является квазичастично-фононная модель [105], учитывающая вклад сложных конфигураций в волновой функции ядра. Данный тип моделей (QPM, MQPM) существенно развит в последнее время и дает возможность расчета в больших базисных пространствах [7, 24].

Особенно актуальной в настоящее время является задача адекватного учета деформации атомных ядер в расчетах  $S_{\beta}(E)$  [20, 21]. Недавно развитый подход [106, 107], учитывающий эффекты ангармоничности (pnMAVA) в сочетании с QRPA, позволяет проводить расчеты  $S_{\beta}(E)$  для переходных и слабдеформированных ядер.

Следует отметить, что существующие модели расчета  $S_{\beta}(E)$  не претендуют на полное и исчерпывающее описание  $\beta$ -процесса. Однако с их помощью можно достаточно неплохо описывать положения и относительные интенсивности пиков в  $S_{\beta}(E)$ . Несомненно, что экспериментальные данные по  $S_{\beta}(E)$ , особенно по тонкой структуре  $S_{\beta}(E)$ , стимулируют дальнейшее развитие подходов к расчетам силовых функций  $\beta$ -переходов.

## 7. ИССЛЕДОВАНИЯ СТРУКТУРЫ $S_{\beta}(E)$ С ПОМОЩЬЮ TAGS

В последние годы спектрометры полного поглощения гамма-излучения (TAGS) широко применялись для исследования структуры  $S_{\beta}(E)$  [2–16].

Использование TAGS позволило надежно доказать резонансную структуру  $S_{\beta}(E)$ . Однако измерение  $S_{\beta}(E)$  с помощью TAGS-спектрометров на базе NaI-кристаллов позволяет определить характеристики лишь одного или двух пиков в  $S_{\beta}(E)$  и при обработке спектров очень часто возникают неопределенности [7, 20, 21].

Для детального изучения  $S_{\beta}(E)$  необходимо применять методы ядерной спектроскопии высокого разрешения. Методы ядерной спектроскопии используются для построения детальной схемы распада атомного ядра и последующего построения детальной силовой функции бета-распада. Методы TAGS используются для контроля полноты схем распада. Совпадение в пределах погрешностей  $S_{\beta}(E)$ , измеренной с помощью TAGS и с помощью методов ядерной спектроскопии высокого разрешения, свидетельствует о полноте построенных схем распада. Возможность построения детальных схем распада вплоть до энергий возбуждения 4–5 МэВ появилась в последние годы благодаря увеличению эффективности HPGe-детекторов  $\gamma$ -излучения и развитию методики получения моноизотопных источников исследуемых ядер.

Использование TAGS-спектрометров в сочетании с методами ядерной спектроскопии высокого разрешения, развиваемое в ОИЯИ, является новым подходом к исследованию свойств распада атомных ядер [20, 21, 46, 47].

Спектрометр полного поглощения, созданный в коллаборации РИ–ОИЯИ, был с успехом использован для исследования структуры силовых функций в сочетании с методами ядерной спектроскопии высокого разрешения [7, 18–21, 34, 45–48] на комплексе ЯСНАПП-2 в Дубне.

Схема TAGS-спектрометра приведена на рис. 16. Эффективность регистрации  $\gamma$ -лучей  $\varepsilon_{\text{tot}}$  в исследуемом нами диапазоне энергий возбуждения в дочерних ядрах  $^{147}\text{Gd}$  (0,1–4,6 МэВ) по пику полного поглощения экспоненциально зависит от суммарной энергии снимающих это возбуждение  $\gamma$ -переходов  $E_\gamma$  (см. выражение (35)). Известно [2], что в такой ситуации интенсивность пика полного поглощения  $\gamma$ -излучения пропорциональна вероятности заселения уровня при  $\beta^+$ -распаде и не зависит от схемы распада. Поэтому анализ измеренных нами спектров сводился к выявлению пиков полного поглощения  $\gamma$ -лучей и определению их интенсивностей. Далее на основании полученных данных об интенсивностях пиков полного поглощения  $\gamma$ -лучей строилась силовая функция  $\beta^+$ /ЕС-распада  $^{147}\text{Gd}$  с использованием соотношения (34).

Спектры  $\gamma$ -излучения, измеренные нами с помощью спектрометра полного поглощения в совпадениях с  $\beta^+$ -частицами при  $\beta^+$ /ЕС-распаде  $^{147}\text{Gd}$  и без совпадений, приведены на рис. 18. Граничная энергия спектров полного поглощения определяется полной энергией электронного захвата  $Q_{\text{EC}}$ . Пик с энергией  $E_\gamma \approx 4$  МэВ в одиночном спектре и пик  $E_\gamma \approx 3$  МэВ в спектре совпадений имеют максимальные энергии и идентифицируются как пики полного поглощения. Пик с  $E'_\gamma \approx 3$  МэВ в спектре совпадений соответ-

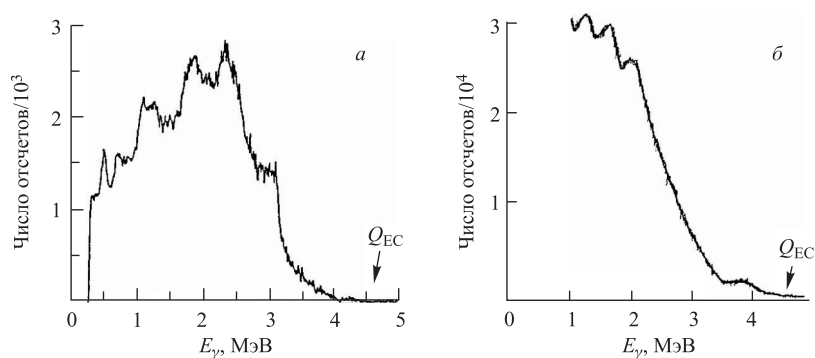


Рис. 18. Спектры  $\gamma$ -излучения при  $\beta^+$ /ЕС-распаде  $^{147}\text{Gd}$ , измеренные с помощью спектрометра полного поглощения в совпадениях с  $\beta^+$ -частицами (а) и без совпадений (б). Стрелкой указана полная энергия электронного захвата  $Q_{\text{EC}}$  для  $^{147}\text{Gd}$

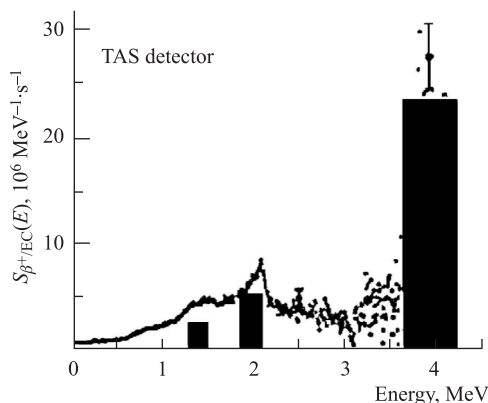
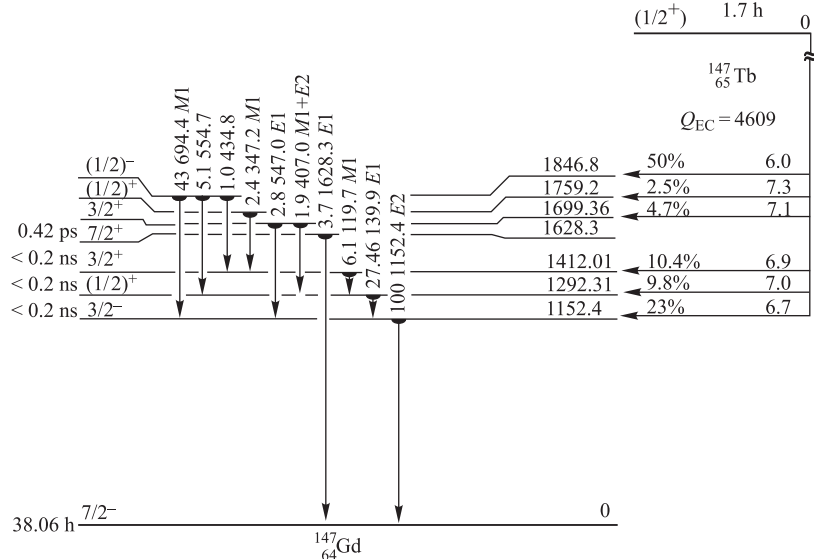


Рис. 19. Силовая функция  $S_{\beta^+/\text{EC}}(E)$   $\beta^+/\text{EC}$ -распада  $^{147g}\text{Tb}$ , полученная из анализа измеренных и представленных на рис. 8 спектров  $\gamma$ -излучения при  $\beta^+/\text{EC}$ -распаде  $^{147g}\text{Tb}$ . Наиболее интенсивный пик в области энергии возбуждения  $E \approx 4$  МэВ интерпретируется как резонанс Гамова–Теллера с  $\mu_{\tau} = +1$

ствует пик с  $E_{\gamma} \approx E'_{\gamma} - 2m_e c^2 \approx 2$  МэВ в одиночном спектре, где  $2m_e c^2$  — энергия двух аннигиляционных квантов. Пик с энергией  $E_{\gamma} \approx 2$  МэВ в одиночном спектре также является пиком полного поглощения. Таким образом, в силовой функции  $\beta^+/\text{EC}$ -распада  $^{147g}\text{Tb}$  можно надежно идентифицировать два пика при энергиях 4 и 2 МэВ (рис. 18 и 19), причем для получения значений интенсивностей и энергий этих двух пиков при анализе  $\gamma$ -спектров полного поглощения не требуется информация о схеме распада. В  $S_{\beta^+/\text{EC}}(E)$  для  $^{147g}\text{Tb}$  наблюдается третий пик при энергии  $E \approx 1,4$  МэВ, однако из-за трудности идентификации пика полного поглощения в этой области энергий для получения надежной информации об интенсивности этого пика необходима информация о схеме разрядки возбужденных уровней  $^{147}\text{Gd}$ . Заметим, что в TAGS-спектрах для  $\beta^+/\text{EC}$ -распада возможно идентифицировать два пика полного поглощения в случае, когда пик полного поглощения с наибольшей энергией попадает в энергетическое окно, доступное для электронного захвата, но не доступное для  $\beta^+$ -распада.

На рис. 19 интенсивность пика с энергией  $E \approx 1,4$  МэВ в  $S_{\beta}(E)$  получена из анализа спектров полного поглощения  $\gamma$ -лучей (рис. 6) в предположении, что разрядка уровней в области энергий возбуждения  $E \approx 1,4$  МэВ происходит двумя  $\gamma$ -квантами с равной энергией. Таким образом, в силовой функции  $\beta^+/\text{EC}$ -распада  $^{147g}\text{Tb}$  (рис. 19) удастся надежно определить энергии и интенсивности двух пиков с энергиями  $E \approx 4$  и 2 МэВ. Наиболее интенсивный пик в области энергии возбуждения  $E \approx 4$  МэВ интерпретируется нами как основной резонанс Гамова–Теллера (GT) с  $\mu_{\tau} = +1$  (согласно схеме для  $S_{\beta}(E)$ , рис. 1).

Рис. 20. Схема  $\beta^+$ /EC-распада  $^{147g}\text{Tb} \rightarrow ^{147}\text{Gd}$  из [108]

К началу наших измерений и получению силовой функции  $S_\beta(E)$   $\beta^+$ /EC-распада  $^{147g}\text{Tb}$  методом TAGS была известна [108] схема распада  $^{147g}\text{Tb} \rightarrow ^{147}\text{Gd}$ , представленная на рис. 20. Полная энергия указанного распада составляет величину  $Q_{\text{EC}} = 4,6$  МэВ. Как видно из схемы распада (рис. 20), в ядре  $^{147}\text{Gd}$  к тому времени было установлено лишь несколько возбужденных состояний. Энергия самого верхнего из них не превышает величину 2 МэВ, что значительно меньше полной энергии распада  $Q_{\text{EC}} = 4,6$  МэВ. Из полученных нами данных о силовой функции  $S_\beta(E)$  методом TAGS (рис. 19) следовало наличие пика в  $S_\beta(E)$  при энергиях возбуждения  $E \approx 4$  МэВ в  $^{147}\text{Gd}$ . Из наличия пика в  $S_\beta(E)$  при  $E \approx 4$  МэВ однозначно следует, что указанная на рис. 20 схема распада не полна и в энергетическом окне от  $E = 2$  МэВ до  $Q_{\text{EC}} = 4,6$  МэВ в ядре  $^{147}\text{Gd}$  существуют и другие возбужденные состояния, не отображенные на схеме распада (рис. 20).

Исходя из вышесказанного в работе [109] были выполнены новые эксперименты, в которых распад  $^{147g}\text{Tb}$  достаточно детально и полно был исследован методами  $\gamma$ -спектроскопии высокого разрешения. Высокое качество и полнота полученных в этих исследованиях данных позволили нам извлечь силовую функцию  $S_\beta(E)$  непосредственно из сведений о схеме  $\beta^+$ /EC-распада  $^{147g}\text{Tb} \rightarrow ^{147}\text{Gd}$ , а затем сравнить ее с  $S_\beta(E)$  для  $^{147g}\text{Tb}$ , полученной нами ранее (рис. 19) методом TAGS, а также с теоретическими расчетами [18].



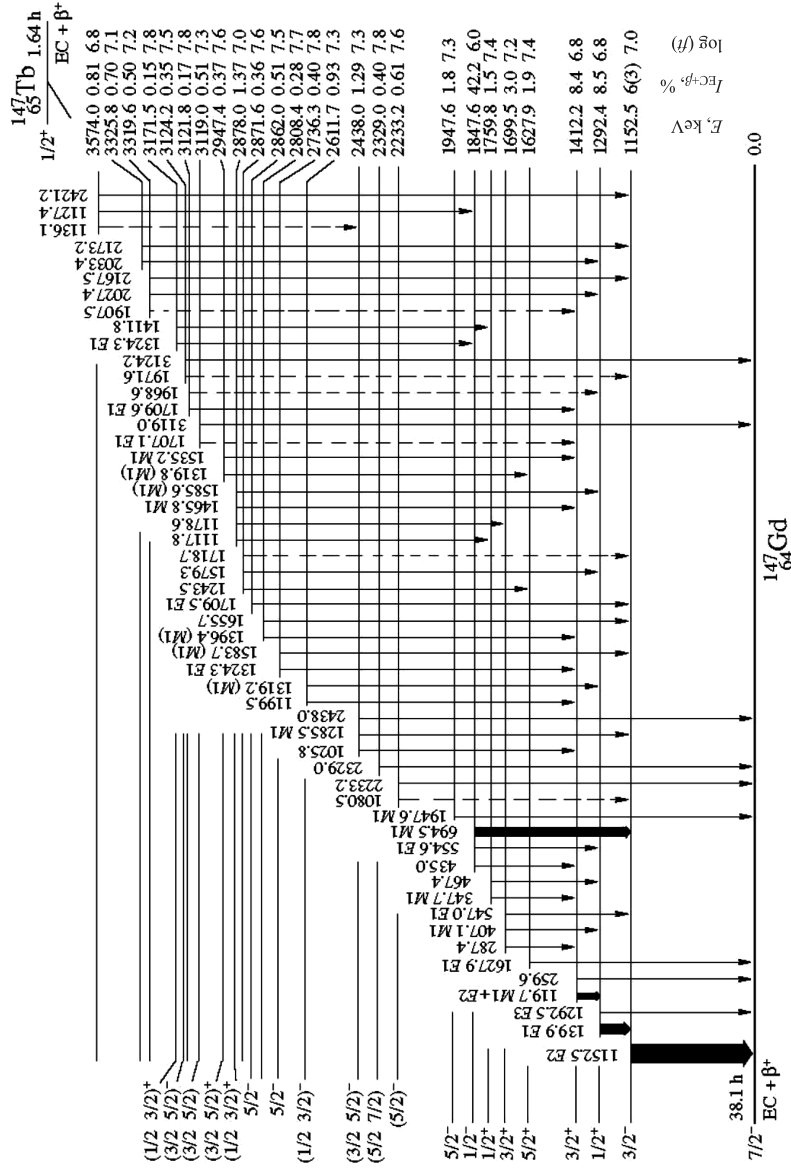


Рис. 21а. Схема  $\beta^+$ /ЕС-распада  $^{147}\text{Tb} \rightarrow ^{147}\text{Gd}$  из работы [109] с возбужденными уровнями в ядре  $^{147}\text{Gd}$  средних энергий до 3,5 МэВ

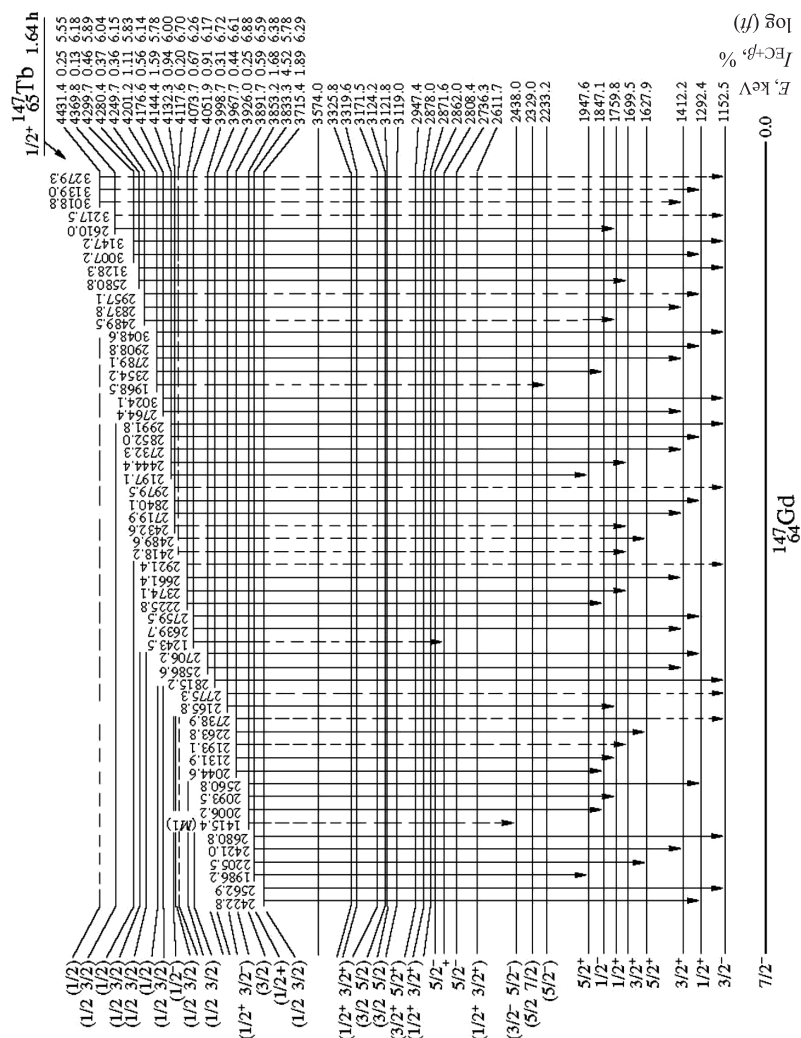


Рис. 216. Схема  $\beta^+/\text{EC}$ -распада  $^{147}\text{Tb} \rightarrow ^{147}\text{Gd}$  из работы [109] с возбужденными уровнями в ядре  $^{147}\text{Gd}$  более высоких энергий — до 4,5 МэВ

На рис. 21а и 21б представлена схема  $\beta^+/\text{EC}$ -распада  $^{147g}\text{Tb} \rightarrow ^{147}\text{Gd}$ , взятая из работы [109]. Полученная из анализа более полной схемы распада (рис. 21а и 21б)  $S_\beta(E)$  приведена на рис. 22.

Как видно из рис. 19 и 22, функции  $S_{\beta^+/\text{EC}}(E)$ , полученные двумя различными методами, хорошо согласуются друг с другом. В обоих случаях наблюдаются пики в области энергий  $E \approx 4$  МэВ. Более того, хорошо согласуются и интенсивности этих пиков. Оцененные нами экспериментальные значения величин  $B(\text{GT})$  для пика  $E \approx 4$  МэВ для  $^{147g}\text{Tb}$  по данным TAGS  $B(\text{GT})_{\text{TAGS}}$  (рис. 19) и по данным [109] из схемы распада  $B(\text{GT})_{\text{DS}}$  (рис. 22, а) дали отношение  $B(\text{GT})_{\text{TAGS}}/B(\text{GT})_{\text{DS}}$ , в пределах погрешности эксперимента не отличающееся от единицы [18, 47]. Данное согласие величин  $B(\text{GT})$  свидетельствует о достаточной полноте предложенной в [109] схемы распада и о корректности измерения  $S_\beta(E)$  с помощью TAGS-метода [7]. Выполненные теоретические расчеты [18] в рамках MQPM-модели с использованием QRPA-приближения (рис. 22, б), так же как и в эксперименте, выявили наличие наиболее интенсивного пика в  $S_\beta(E)$  (резонанса Гамов–Теллера (GT) с  $\mu_\tau = +1$ ) в области энергии возбуждения дочернего ядра  $^{147}\text{Gd}$   $E \approx 4$  МэВ. Это позволяет сделать положительный вывод о применимости указанной модели для описания  $S_\beta(E)$  сферических ядер, к которым принадлежит исследуемое нами ядро  $^{147g}\text{Tb}$  и дочернее ему ядро  $^{147}\text{Gd}$ . Вместе с тем следует отметить, что, как видно из рис. 22, теоретические расчеты (рис. 22, б) дают завышенное в несколько раз значение интенсивности основного резонанса с энергией  $E \approx 4$  МэВ по сравнению с экспериментом (рис. 22, а). Данное превышение можно связать с тем, что мы в эксперименте можем наблюдать лишь часть резонанса, попадающую в доступную для

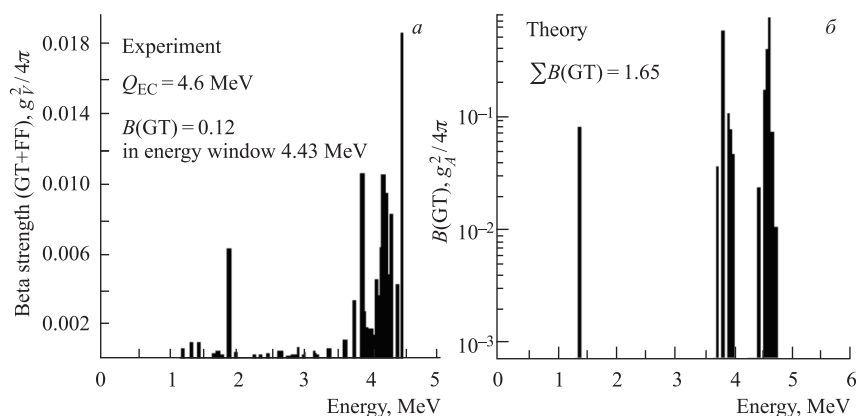


Рис. 22. Сравнение экспериментальных и теоретических данных для тонкой структуры силовой функции для  $\beta^+/\text{EC}$ -распада  $^{147g}\text{Tb}$ : а) полученных из анализа схемы распада; б) рассчитанных в рамках MQPM-модели для GT-переходов [18, 47]

электронного захвата по энергии область. Очевидно, что экспериментальные данные, полученные методами  $\gamma$ -спектроскопии высокого разрешения (рис. 22, а), позволяют выявить тонкую структуру силовой функции  $^{147}\text{Gd}$  и, в частности, резонанса Гамова–Теллера с  $\mu_\tau = +1$  в области энергий  $E \approx 4$  МэВ.

Таким образом, методы TAGS позволяют выявить резонансный характер  $S_\beta(E)$  и получить данные о структуре  $S_\beta(E)$ , когда в TAGS-спектре удастся надежно идентифицировать пики полного поглощения. Для  $S_\beta(E)$   $\beta^-$ -распада удастся, как правило, идентифицировать один пик полного поглощения, а для  $\beta^+$ /EC-распада — два пика. Для получения информации о более детальной структуре  $S_\beta(E)$  необходимо привлекать методы ядерной спектроскопии с высоким энергетическим разрешением.

## 8. ИССЛЕДОВАНИЯ СТРУКТУРЫ $S_\beta(E)$ С ПОМОЩЬЮ МЕТОДОВ ЯДЕРНОЙ СПЕКТРОСКОПИИ ВЫСОКОГО РАЗРЕШЕНИЯ

Применение методов ядерной спектроскопии с высоким энергетическим разрешением позволяет получать детальную информацию о структуре  $S_\beta(E)$  для всех пиков с энергией, не превышающей  $Q_\beta$ . Также появляется возможность получать качественно новую информацию о тонкой структуре  $S_\beta(E)$  как для переходов Гамова–Теллера (GT-переходов), так и для переходов первого запрета (FF-переходов).

В экспериментах [7, 109, 110] для наработки радиоактивных препаратов использовали реакцию глубокого расщепления ядер тантала при взаимодействии с протонами, имеющими энергию 660 МэВ, от фазотрона ЛЯП ОИЯИ. Для этого с помощью специального устройства без нарушения вакуума в камеру фазотрона устанавливалась мишень массой 5 г, приготовленная из металлического тантала. Затем проводилось облучение указанной мишени пучком протонов в течение некоторого промежутка времени, определяемого периодом полураспада и требуемым количеством того или иного радионуклида, распад которого мы собирались исследовать. В наших экспериментах время облучения варьировалось от нескольких десятков минут до нескольких часов. При этом во всех сериях облучения энергия протонов составляла  $E_p = 660$  МэВ, а интенсивность  $I_p = 2$  мкА.

После облучения мишень извлекалась из камеры ускорителя и доставлялась в специальную лабораторию, где подвергалась радиохимической обработке. Выделенные редкоземельные элементы — продукты реакций хроматографическим методом [111] разделялись на отдельные фракции. При этом время от снятия мишени до конца разделения в общей сложности не превышало 2 ч.

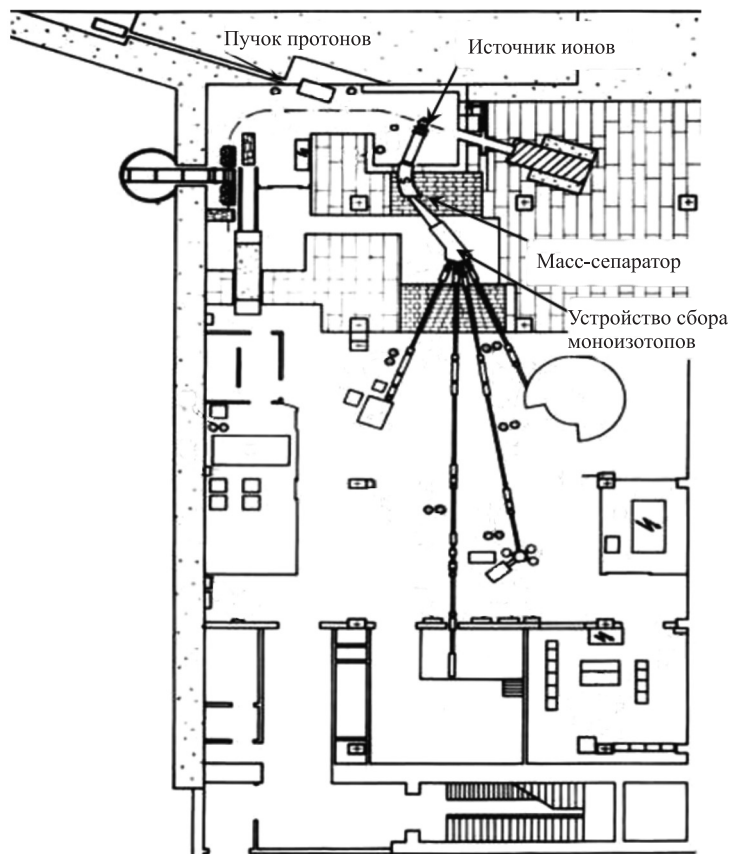


Рис. 23. Общий вид комплекса ЯСНАПП-2 ЛЯП ОИЯИ

Одна из таких фракций (Тв, Ер) помещалась в специальную ампулу источника ионов электромагнитного масс-сепаратора (рис. 23) комплекса ЯСНАПП-2 [112] и подвергалась разделению на отдельные изобары. В специальном устройстве сбора моноизотопы в виде ионов высаживались (каждый в своем месте) на алюминиевую ленту. Лента извлекалась из устройства, из нее затем вырезались отдельные фрагменты размером  $\sim 1 \text{ см}^2$ , содержащие тот или иной моноизотоп. Впоследствии эти фрагменты использовались в качестве радиоактивных источников для измерений на наших спектрометрах. Весь процесс масс-сепарирования занимал не более 1 ч.

Далее проводилось измерение спектров  $\gamma$ -лучей и матриц  $\gamma\gamma t$ -совпадений при  $\beta$ -распаде исследуемых нами ядер. Дополнительно измерялись спектры электронов внутренней конверсии (ЭВК). Из измеренных спектров определялись энергии и интенсивности  $\gamma$ -лучей и ЭВК, а на основе данных

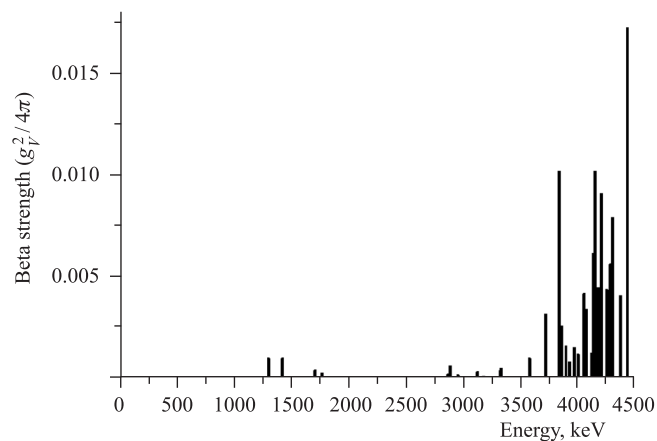


Рис. 24.  $S_{\beta}(E)$  для переходов Гамова–Теллера при  $\beta^+/\text{EC}$ -распаде сферического ядра  $^{147g}\text{Tb}$  ( $T_{1/2} = 1,6$  ч,  $Q_{\text{EC}} = 4,6$  МэВ) [113]

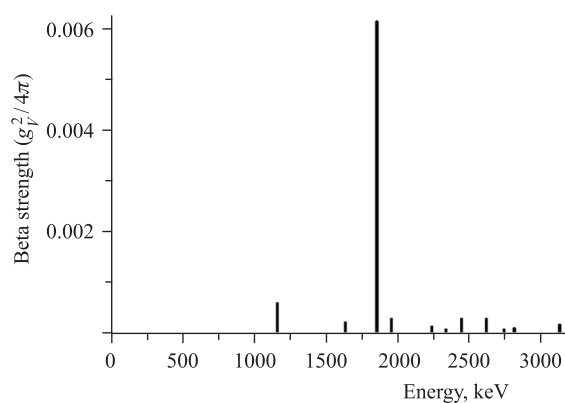


Рис. 25.  $S_{\beta}(E)$  для переходов первого запрета при  $\beta^+/\text{EC}$ -распаде сферического ядра  $^{147g}\text{Tb}$  ( $T_{1/2} = 1,6$  ч,  $Q_{\text{EC}} = 4,6$  МэВ) [113]

о  $\gamma\gamma t$ -совпадениях устанавливались их конкретные местоположения между возбужденными состояниями, и тем самым строилась схема распада. Затем из баланса интенсивностей приходящих и уходящих  $\gamma$ -переходов для каждого из энергетических уровней определялись интенсивности их заселенностей непосредственно по ветке  $\beta$ -распада и вычислялись величины приведенных периодов полураспада  $ft$ , входящих в выражения (3)–(9) для функции  $S_{\beta}(E)$ .

На рис. 21 приведены характеристики уровней  $^{147}\text{Gd}$ , заселяемых при  $\beta^+/\text{EC}$ -распаде сферического ядра  $^{147g}\text{Tb}$  ( $T_{1/2}=1,6$  ч,  $Q_{\text{EC}}=4,6$  МэВ) [109].

С помощью соотношений (3)–(9) и данных [109] были построены  $S_{\beta}(E)$  для GT-переходов (рис. 24) и FF-переходов (рис. 25).

$S_{\beta}(E)$  для переходов Гамова–Теллера при  $\beta^+$ /ЕС-распаде сферического ядра  $^{147g}\text{Tb}$  ( $T_{1/2} = 1,6$  ч,  $Q_{\text{ЕС}} = 4,6$  МэВ) [18, 47, 113] имеет четко выраженный резонанс при энергии возбуждения в области 4 МэВ. Теоретические расчеты [18] правильно описывают энергию, но дают в несколько раз большую интенсивность резонанса (рис. 22, б). Данная ситуация типична для большого числа ядер, исследованных TAGS-методом [33]. В случае  $\beta^+$ /ЕС-распада  $^{147g}\text{Tb}$  превышение теоретического значения интенсивности резонанса над экспериментально наблюдаемой связано с тем, что в [7, 18, 47] наблюдался лишь «хвост» пика в  $S_{\beta}(E)$ . Таким образом, использование методов ядерной спектроскопии высокого разрешения, так же как и TAGS, дает убедительные доказательства резонансной структуры  $S_{\beta}(E)$  для GT-переходов в сферических ядрах.

До недавнего времени вопрос о резонансной структуре  $S_{\beta}(E)$  для FF-переходов оставался открытым. В [21] впервые было экспериментально доказано наличие резонансов в  $S_{\beta}(E)$  для FF-переходов при  $\beta^+$ /ЕС-распаде деформированного ядра  $^{160g}\text{Ho}$  (25,6 мин). Из рис. 25 следует, что для  $\beta^+$ /ЕС-распада сферического ядра  $^{147g}\text{Tb}$   $S_{\beta}(E)$  для FF-переходов также проявляется резонансный характер. Кроме того, следует отметить, что в области энергий возбуждения около 2 МэВ для  $\beta^+$ /ЕС-распада  $^{147g}\text{Tb}$  интенсивность  $\beta^+$ /ЕС-переходов первого запрета превосходит интенсивности переходов Гамова–Теллера.

Измерения спектров  $\gamma$ -излучения  $^{160m,g}\text{Ho}$  авторы [110] проводили в «цепочке» распадов  $^{160}\text{Er} (28,6 \text{ ч}) \rightarrow ^{160m,g}\text{Ho} \rightarrow ^{160}\text{Dy}$  (рис. 26). Материнский изотоп  $^{160}\text{Er}$  имеет небольшую энергию распада  $Q_{\text{ЕС}} = (336 \pm 32)$  кэВ, поэтому его присутствие в «цепочке» затрудняло идентификацию  $\gamma$ -переходов лишь мягких энергий. Для вычисления приведенных вероятно-

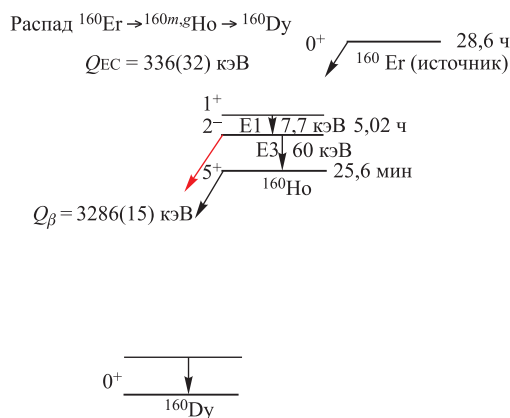


Рис. 26. Распад  $^{160}\text{Er} \rightarrow ^{160m,g}\text{Ho} \rightarrow ^{160}\text{Dy}$

стей бета-переходов  $^{160g,m}\text{Ho}$  (величин  $\log ft$ ) необходимо было установить парциальный период по ветке  $\beta^+$ /ЕС-распада  $^{160g,m}\text{Ho}$ . При данных вычислениях [21] коэффициент ветвления [114] для распада изомера  $^{160m}\text{Ho}$   $\varepsilon = (\text{ЕС}/\beta^+)/\text{tot.}$  принимался равным 0,27(3).

На основании данных, приведенных в табл. 5, построены  $S_\beta(E)$  для GT-переходов (рис. 27) и FF-переходов [20, 113] (рис. 28) при  $\beta^+$ /ЕС-распаде деформированного ядра  $^{160g}\text{Ho}$  (25,6 мин).

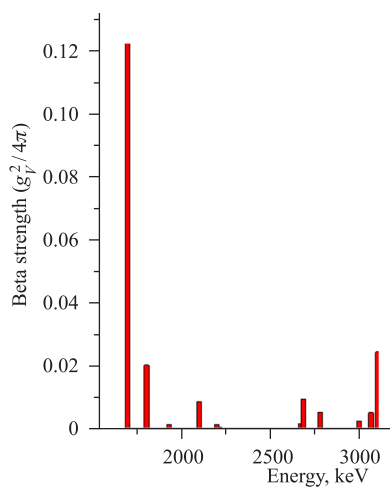


Рис. 27.  $S_\beta(E)$  для переходов Гамова–Теллера при  $\beta^+$ /ЕС-распаде деформированного ядра  $^{160g}\text{Ho}$  (25,6 мин) [20]

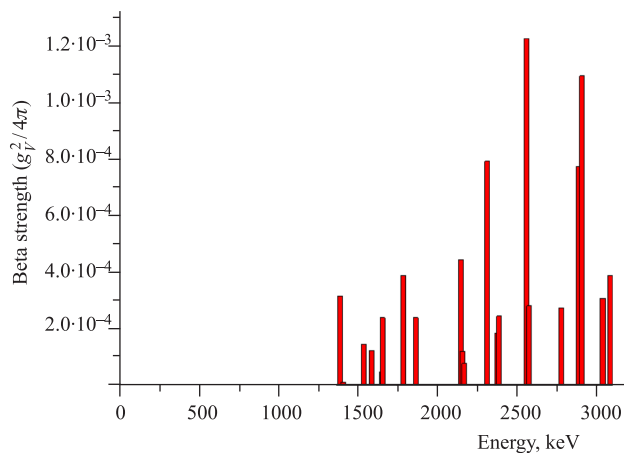


Рис. 28.  $S_\beta(E)$  для переходов первого запрета при  $\beta^+$ /ЕС-распаде деформированного ядра  $^{160g}\text{Ho}$  (25,6 мин) [20]



Таблица 5. Уровни  $^{160}\text{Dy}$ , заселяемые при  $\beta^+$ /ЕС-распаде  $^{160g}\text{Ho}$  (25,6 мин)

Энергия уровня, кэВ	Квантовые характеристики ( $I^\pi K$ )	Заселение из $\beta^+$ /ЕС-распада, %	$\log ft$
1386,46(2)	$4^-$	0,27(3)	7,32(5)
1438,57(3)	$6^+$	0,2(1)	7,4(2)
1535,14(2)	$4^-$	0,11 (2)	7,63(8)
1603,77(8)	$4^+$	0,07(2)	7,8(1)
1606,9(1)	$6^+$	0,10(1)	7,63(5)
1607,9(1)	$4^+S$	0,08(2)	7,7(1)
1650,87(4)	$5^-$	0,02(1)	8,3(2)
1652,1(1)	(4, 5, 6)	0,16(2)	7,41(6)
1694,36(2)	$4^+4$	74(5)	4,72(3)
1802,24(2)	$5^+4$	10,8(9)	5,49(4)
1860,1(1)	$5^-4$	0,11(1)	7,44(4)
1929,19(2)	$6^+4$	0,62(7)	6,65(5)
2096,87(2)	$4^+4$	2,9(2)	5,86(3)
2143,7(1)	( $4^-$ )	0,13(2)	7,17(7)
2155,3(2)	( $4^-$ )	0,035(3)	7,73(4)
2187,0(1)	(5,6)	0,09(1)	7,30(5)
2194,43(3)	$5^+4$	0,43(3)	6,61(4)
2208,4(1)	$4^+$	0,20(3)	6,93(7)
2374,5(1)	( $4^-$ )	0,036(5)	7,52(7)
2556,8(1)	$5^-$	0,14(2)	6,73(7)
2572,4(1)	(4)	0,032(3)	7,35(5)
2681,9(1)	$5^+$	0,8(1)	5,80(6)
2727,2(1)	(4)	0,037(5)	7,06(7)
2755,0(2)	( $4^-$ )	0,027(4)	7,15(7)
2757,1(1)	(4, 5)	0,040(7)	6,97(8)
2763,0(1)	(4, 5)	0,07(1)	6,72(7)
2777,6(1)	( $4^+$ )	0,29(2)	6,07(5)
2853,6(1)	$5^-$	0,055(6)	6,64(6)
2941,7(1)	(4, 5, 6)	0,023(2)	6,79(6)
2969,9(1)	(4, 5)	0,06(2)	6,3(2)
2977,5(1)	(4, 5)	0,021(5)	6,7(1)
3033,7(2)	(4, 5) $^-$	0,0031(9)	7,3(2)
3081,4(2)	(4, 5, 6)	0,0024(7)	7,2(2)

В настоящее время не существует теории, адекватно описывающей силовые функции  $\beta$ -распада деформированных ядер. Коллективные возбуждения Гамова–Теллера с макроскопической точки зрения представляют собой коле-

бания спин-изоспиновой плотности без изменения формы ядра, поэтому положение максимума в силовой функции в сферическом пределе должно примерно соответствовать центру тяжести силовой функции деформированного ядра [2]. Для  $\beta^+$ /ЕС-переходов Гамова–Теллера при распаде ядра  $^{160g}\text{Ho}$  (25,6 мин) ярко выражена резонансная структура силовой функции (рис. 27). Наиболее сильный пик в области 2–3 МэВ отождествляется с  $\mu_\tau = +1$  резонансом Гамова–Теллера, поскольку оценки, проведенные по модели, изложенной в [2], предсказывают наличие такого резонанса в области 2–4 МэВ, а значение величины  $ft$  для уровня с энергией 1694 кэВ (табл. 1) типично для  $\mu_\tau = +1$  резонанса Гамова–Теллера [2]. На рис. 27 наблюдается расщепление пика для переходов Гамова–Теллера на две компоненты, одна из которых расположена в области 1700–2200 кэВ, вторая в области 2680–3100 кэВ. Данное расщепление, по аналогии с расщеплением пика  $E1$  гигантского резонанса в деформированных ядрах, можно связать с анизотропией колебаний компоненты  $\rho_{\tau,\mu=1,1}$  изовекторной плотности.

Для  $\beta^+$ /ЕС-распада Гамова–Теллера сферического ядра  $^{147g}\text{Tb}$  такого расщепления не наблюдается (рис. 24).

Зарядово-обменные частично-дырочные возбуждения (рис. 1), заселяемые при  $\beta$ -распаде, связаны с колебанием компонент  $\mu_\tau = \pm 1$  изовекторной плотности [23]  $\rho_{\tau=1,\mu_\tau}$ :

$$\rho_{\tau=1,\mu_\tau}(r) = \sum_k 2t_{\mu_\tau}(k)\delta(r - r_k), \quad (44)$$

где суммирование ведется по всем нуклонам  $k$ ,  $t_{\mu_\tau}$  — сферическая компонента изоспина нуклона  $t$ :

$$t_{\mu_\tau} = \begin{cases} 1/\sqrt{2}(t_x - it_y), & \mu_\tau = -1, \\ t_z, & \mu_\tau = 0, \\ 1/\sqrt{2}(t_x + it_y), & \mu_\tau = +1. \end{cases} \quad (45)$$

Колебания с  $\tau = 0$  соответствуют колебаниям изоскалярной (полной) плотности. Колебания с  $\tau = 1$ ,  $\mu_\tau = 0$ ,  $I^\pi = 1^-$  соответствуют колебанию компоненты  $\rho_{\tau=1,0}$  изовекторной плотности и описывают колебания протонов и нейтронов, движущихся в противофазе, —  $E1$  гигантский дипольный резонанс (ГДР). Амплитуды колебаний изовекторной плотности являются тензорами в изопространстве и орбитальном пространстве, что приводит к расщеплению  $E1$ -резонанса в деформированных ядрах [115].

Колебания с  $\tau = 1$ ,  $\mu_\tau = \pm 1$  описывают  $\beta^+$ /ЕС- и  $\beta^-$ -распады, и в деформированных ядрах пики в силовых функциях также должны быть расщеплены. Колебания компоненты изовекторной плотности  $\rho_{\tau,\mu=1,0}$  соответствуют колебаниям протонов относительно нейтронов, а плотности  $\rho_{\tau,\mu=1,1}$  — колебаниям протонных дырок относительно нейтронов.

Расщепление пика в силовой функции  $\beta^+$ /ЕС-распада Гамова–Теллера деформированного ядра  $^{160g}\text{Ho}$  свидетельствует об анизотропии колебаний компоненты изовекторной плотности  $\rho_{\tau,\mu=1,1}$  [20].

Для FF-переходов при  $\beta^+$ /ЕС-распаде деформированного ядра  $^{160g}\text{Ho}$  (25,6 мин) также наблюдается резонансная структура в  $S_{\beta}(E)$  [113]. В области энергий около 2,5 МэВ FF-переходы более интенсивны, чем GT-переходы.

В табл. 6 приведены данные о характеристиках уровней  $^{160}\text{Dy}$ , заселяемых при  $\beta^+$ /ЕС-распаде деформированного ядра изомера  $^{160m}\text{Ho}$  ( $2^-$ ; 5,02 ч,  $Q_{\text{ЕС}} = 3346$  кэВ).

Таблица 6. Уровни  $^{160}\text{Dy}$ , заселяемые при  $\beta^+$ /ЕС-распаде  $^{160m}\text{Ho}$  (5,02(5) ч)

Энергия уровня, кэВ	Квантовые характеристики ( $I^{\pi}K$ )	Заселение из $\beta^+$ /ЕС-распада, %	$\log ft$
86,788(5)	$2^+0$	1,0(2)*	8,9
966,17(1)	$2^+2$	<0,3	>9
1049,12(1)	$3^+2$	<0,9	>8,6
1264,77(1)	$2^-2$	<0,2	>9
1285,62(2)	$1^-1$	4,2(5)	7,9
1286,71(2)	$3^-2$	1,2(3)	8,4
1358,67(2)	$2^-1$	4,4(9)	7,8
1398,98(2)	$3^-1$	1,5(3)	8,2
1489,49(3)	$1^-0$	0,4(2)	8,8
1643,3(1)	$3^-0$	0,6(1)	8,5
1653,7(1)	(2,3)	0,11(8)	9,2
1756,88(4)	(2) <sup>+</sup>	0,3(2)	8,8
1804,70(2)	$1^+1$	0,4(3)	8,6
1869,54(3)	$2^+1$	0,6(2)	8,4
2009,5(1)	(1,2) <sup>-</sup>	0,07(4)	9,2
2012,72(8)	$2^+0$	<0,01	>10
2068,09(4)	$1^-$	1,1(1)	8,0
2077,36(4)	$3^-3$	0,41(9)	8,4
2088,8(1)	(2) <sup>-</sup>	0,07(4)	9,2
2090,9(1)	(2,3) <sup>-</sup>	0,16(3)	8,8
2126,43(7)	$3^-$	0,33(8)	8,5
2130,6(1)	$3^-$	1,4(2)	7,8
2138,22(4)	(2) <sup>+</sup>	0,1(1)	> 9
2140,2(1)	(3)	0,6(1)	8,2
2141,7(1)	(3)	0,09(2)	9,0
2144,5(1)	(2) <sup>-</sup>	0,11(1)	8,9

Продолжение табл. 6

Энергия уровня, кэВ	Квантовые характеристики ( $I^\pi K$ )	Заселение из $\beta^+$ /ЕС-распада, %	$\log ft$
2149,9(1)	(1,2)	0,09(3)	9,0
2191,0(1)	(3 <sup>-</sup> )	0,037(6)	9,4
2230,5(1)	(2)	0,17(2)	8,7
2245,0(1)	3 <sup>+</sup>	<0,004	>10
2255,7(1)	(1,2 <sup>+</sup> )	0,19(4)	8,6
2267,0(1)	3 <sup>-</sup>	0,7(3)	8,0
2271,27(4)	2 <sup>-</sup>	2,4(3)	7,5
2279,0(1)	(3 <sup>-</sup> )	0,051(9)	9,2
2297,5(1)	(2) <sup>+</sup>	0,7(1)	8,0
2323,2(1)	(1,2) <sup>+</sup>	1,0(1)	7,8
2325,3(1)	(1,2) <sup>+</sup>	0,07(1)	9,0
2327,7(1)	(2) <sup>+</sup>	0,20(3)	8,5
2354,6(1)	2 <sup>+</sup>	1,6(2)	7,6
2367,5(1)	3 <sup>+</sup>	1,3(2)	7,7
2386,9(1)	(3) <sup>+</sup>	0,9(1)	7,8
2393,5(1)	(2,3)	0,6(1)	8,0
2396,9(1)	(1,2)	0,030(5)	9,3
2450,22(5)	(1 <sup>-</sup> )	0,37(6)	8,1
2469,7(2)	(3 <sup>-</sup> )	0,7(1)	7,8
2474,9(1)	(3)	0,09(2)	8,7
2503,8(1)	2 <sup>+</sup>	0,04(2)	9,0
2553,6(1)	(3 <sup>-</sup> )	0,06(3)	8,8
2574,4(1)	(1,2,3) <sup>-</sup>	0,32(5)	8,1
2602,67(5)	(1,2) <sup>-</sup>	0,44(6)	7,9
2610,0(1)	(2) <sup>+</sup>	0,27(4)	8,1
2630,3(1)	(1,2) <sup>+</sup>	0,24(4)	8,1
2630,76(2)	1 <sup>-</sup>	20(2)	6,2
2634,7(1)	(1,2,3) <sup>+</sup>	0,37(4)	7,9
2645,9(1)	3 <sup>-</sup>	0,7(1)	7,6
2661,50(2)	2 <sup>-</sup>	10(1)	6,5
2674,72(3)	1 <sup>-</sup>	7,8(9)	6,6
2696,5(1)	(2,3) <sup>-</sup>	1,6(3)	7,2
2697,8(1)	2 <sup>+</sup>	3,3(4)	6,9
2701,09(2)	1 <sup>-</sup>	7,9(9)	6,5
2704,25(3)	2 <sup>-</sup>	3,8(4)	6,8
2717,25(3)	2 <sup>+</sup>	2,0(3)	7,1
2718,91(7)	2 <sup>-</sup>	3,9(5)	6,8

Окончание табл. 6

Энергия уровня, кэВ	Квантовые характеристики ( $I^{\pi}K$ )	Заселение из $\beta^+$ /ЕС-распада, %	$\log ft$
2720,6(1)	$3^-$	1,0(1)	7,4
2729,82(4)	$2^-$	2,0(2)	7,1
2734,72(3)	$1^-$	3,4(4)	6,8
2756,3(3)	$(2^-)$	0,11(1)	8,3
2760,5(1)	$(1,2)$	0,6(1)	7,5
2767,7(1)	$1^-$	0,9(1)	7,4
2822,2(2)	$1^+$	0,015(4)	9,0
2851,70(4)	$1^-$	1,5(2)	7,0
2858,1(1)	$3^-$	0,14(3)	8,0
2861,1(1)	$1^+$	0,45(6)	7,5
2877,10(4)	$1^-$	0,22(4)	7,8
2879,4(1)	$(2)$	0,23(4)	7,7
2885,6(1)	$(2,3)^-$	0,25(4)	7,7
2896,3(1)	$2^+$	0,9(1)	7,1
2958,5(1)	$3^-$	0,31(5)	7,4
2969,0(2)	$(1,2)$	0,03(1)	8,4
3004,4(1)	$(1,2)$	0,004(1)	9,2
3024,5(1)	$(1,2)$	0,015(2)	8,6
3061,93(5)	$(1,2^+)$	0,26(4)	7,2

*Примечание.* При расчете величин  $\log ft$  использовалась величина парциального периода по ветке  $\beta^+$ /ЕС-распада изомера  $^{160m}\text{Ho}$   $T_{1/2} = 19(2)$  ч,  $\varepsilon = (\text{ЕС} + \beta^+)/\text{tot.} = 0,27(3)$ .

\*В предположении, что  $\beta^+$ -компонента с  $E_{\text{гп}} = (2280 \pm 50)$  кэВ,  $J_{\beta^+} = 0,04(1)\%$  относится к распаду  $^{160m}\text{Ho}$  и заселяет уровень  $(2^+, 0)$ .

Расчет величин  $ft$  для  $\beta^+$ /ЕС-распада изомера  $^{160m}\text{Ho}$  можно проводить двумя способами. В первом случае берется величина полного периода полу-распада изомера  $^{160m}\text{Ho}$   $T_{1/2}^{\text{tot}} = 5,02(5)$  ч, а суммарная заселенность уровней в дочернем ядре  $^{160}\text{Dy}$ , связанная с  $\beta^+$ /ЕС-распадом изомера  $^{160m}\text{Ho}$ , нормируется на величину  $\varepsilon \cdot 100\% = 27(3)\%$ . Во втором случае берется парциальный период по ветке  $\beta^+$ /ЕС-распада изомера  $^{160m}\text{Ho}$   $T_{1/2} = 19(2)$  ч, определяемый как  $T_{1/2} = T_{1/2}^{\text{tot}}/\varepsilon$ . Суммарная заселенность уровней в дочернем ядре  $^{160}\text{Dy}$ , связанная с  $\beta^+$ /ЕС-распадом изомера  $^{160m}\text{Ho}$ , для данного случая нормируется уже на величину 100%. Естественно, в обоих случаях мы должны получить одни и те же значения  $ft$ . В табл. 6 приведены данные для расчета по второму варианту, поскольку для него более просто оценивать погрешность, связанную с погрешностью значения  $\varepsilon = (\text{ЕС}/\beta^+)/\text{tot.}$ , и проводить округления.

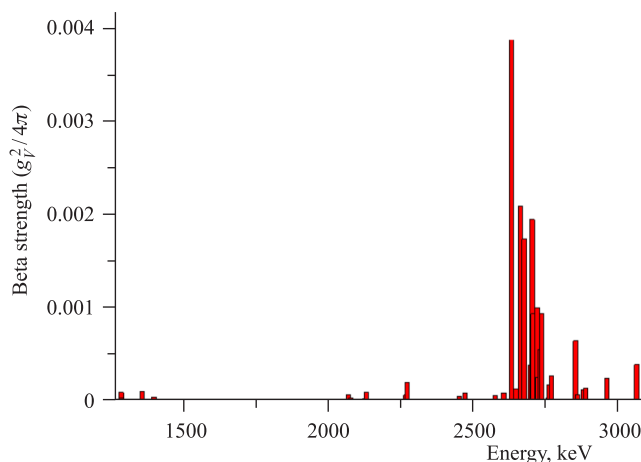


Рис. 29.  $S_\beta(E)$  для переходов Гамова–Теллера при  $\beta^+$ /ЕС-распаде деформированного ядра изомера  $^{160m}\text{Ho}$  (5,02 ч) [21]

В случае  $\beta^+$ /ЕС-распада Гамова–Теллера изомера  $^{160m}\text{Ho}$   $S_\beta(E)$  имеет ярко выраженную резонансную структуру. Основной пик в  $S_\beta(E)$  находится при энергии возбуждения 2630 кэВ дочернего ядра  $^{160}\text{Dy}$ , что примерно на 1 МэВ больше, чем для распада  $^{160g}\text{Ho}$ . Поэтому вторая компонента пика в  $S_\beta(E)$  для распада изомера  $^{160m}\text{Ho}$  может иметь энергию больше, чем  $Q_{\text{EC}} = 3346$  кэВ, и не проявляться при  $\beta^+$ /ЕС-распаде  $^{160m}\text{Ho}$ , и в данном случае (рис. 29) мы можем наблюдать лишь фрагменты «хвоста» второй компоненты расщепленного пика для  $S_\beta(E)$ .

Для  $\beta^+$ /ЕС-распада Гамова–Теллера деформированного ядра  $^{160m}\text{Ho}$  основной пик (рис. 29) в  $S_\beta(E)$  имеет меньшую амплитуду по сравнению с основным пиком [21] в  $S_\beta(E)$  для распада  $^{160g}\text{Ho}$ , что связано с запретом по асимптотическим квантовым числам для  $\beta^+$ /ЕС-распада Гамова–Теллера изомера  $^{160m}\text{Ho}$ .

Для  $\beta^+$ /ЕС-распадов первого запрета изомера  $^{160m}\text{Ho}$  обнаружено (рис. 30) проявление резонансной структуры в силовой функции  $S_\beta(E)$ .

Сильное смешивание конфигураций при высоких энергиях возбуждения и плотностях уровней должно приводить к исчезновению резонансной структуры в силовых функциях  $S_\beta(E)$ . Наличие приближенной симметрии ядерного взаимодействия препятствует смешиванию ряда конфигураций. Для конфигураций, заселяемых при  $\beta^+$ /ЕС-переходах Гамова–Теллера, смешивание более слабое вследствие частичной  $SU(4)$  спин-изоспиновой симметрии взаимодействия в ядре [3, 20, 21]. Для  $\beta^+$ /ЕС-переходов первого запрета также наблюдается резонансная структура в силовой функции  $S_\beta(E)$  (рис. 25, 28, 30). Наличие резонансной структуры в силовой функции  $\beta^+$ /ЕС-

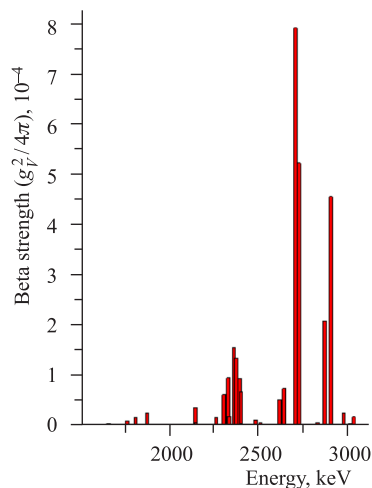


Рис. 30.  $S_{\beta}(E)$  для переходов первого запрета при  $\beta^+$ /EC-распаде деформированного ядра изомера  $^{160m}\text{Ho}$  (5,02 ч) [21]

переходов первого запрета может свидетельствовать о существовании соответствующей первому запрету частичной симметрии взаимодействия в ядре. Это означает, что конфигурации, заселяемые при переходах первого запрета, также выделены по приближенным квантовым числам среди соседних уровней дочернего ядра и сильного смешивания конфигураций не происходит.

В статистической модели полагают [17]  $S_{\beta}(E) = \text{const}$  или  $S_{\beta}(E) \approx \rho(E)$ , где  $\rho(E)$  — плотность уровней дочернего ядра. Полученные экспериментальные данные [7, 18, 20, 21, 47] однозначно свидетельствуют о неприменимости статистической модели для расчета  $S_{\beta}(E)$  как для GT-переходов, так и FF-переходов.

Таким образом, использование методов ядерной спектроскопии высокого разрешения, так же как и TAGS, дает убедительные доказательства резонансной структуры  $S_{\beta}(E)$  для GT-переходов как в сферических, так и в деформированных ядрах. С помощью методов ядерной спектроскопии высокого разрешения удалось экспериментально доказать резонансный характер  $S_{\beta}(E)$  для переходов первого запрета (FF-переходов).

## ЗАКЛЮЧЕНИЕ

Развитие экспериментальной техники позволяет в настоящее время применять методы ядерной спектроскопии, обладающие высоким энергетическим разрешением, для исследования тонкой структуры  $S_{\beta}(E)$ . Наиболее

полно такие исследования проведены для ряда ядер, полученных на комплексе ЯСНАПП-2 в Дубне.

Применение методов ядерной спектроскопии высокого разрешения, так же как и методов спектроскопии полного поглощения (TAGS), дает убедительные доказательства резонансной структуры  $S_\beta(E)$  для GT-переходов как в сферических, так и в деформированных ядрах. С помощью методов ядерной спектроскопии высокого разрешения удалось экспериментально доказать резонансный характер  $S_\beta(E)$  для FF-переходов и выявить расщепление пика в силовой функции  $\beta^+$ /ЕС-распада Гамова–Теллера деформированного ядра  $^{160g}\text{Ho}$  на две компоненты. Данное расщепление свидетельствует об анизотропии колебаний компоненты изовекторной плотности  $\rho_{\tau,\mu=1,1}$ .

Методы ядерной спектроскопии высокого разрешения в сочетании с TAGS-методами позволяют эффективно выявлять неполноту схем распада атомных ядер. Использование методов ядерной спектроскопии высокого разрешения позволяет определять области энергий возбуждения ядер, где интенсивность  $\beta^+$ /ЕС-переходов первого запрета сравнима или даже превосходит интенсивности переходов Гамова–Теллера.

В настоящее время особенно актуальным представляется развитие теоретических моделей и методов расчета  $S_\beta(E)$  с учетом деформации атомных ядер. Получение экспериментальных данных о структуре силовых функций как для переходов Гамова–Теллера, так и для переходов первого порядка запрета в сферических и деформированных ядрах чрезвычайно важно для дальнейшего совершенствования теоретических подходов к расчету  $S_\beta(E)$ .

#### СПИСОК ЛИТЕРАТУРЫ

1. *Izosimov I. N., Naumov Yu. V.* Influence of the Strength Function of  $\beta$ -transitions on the Probability of Delayed Fission of  $^{236}\text{U}$  and  $^{238}\text{U}$  // Bull. of the Acad. of Sci. USSR. Phys. Ser. 1978. V. 42, No. 11. P. 25–32 (in English, translated by AIP).
2. *Naumov Yu. V., Bykov A. A., Izosimov I. N.* Structure of  $\beta$ -Decay Strength Functions // Sov. J. Part. Nucl. 1983. V. 14, No. 2. P. 175–200 (in English, translated by AIP).
3. *Изосимов И. Н.* Проявление нестатистических эффектов в атомных ядрах // ЭЧАЯ. 1999. Т. 30, № 2. С. 320–379.
4. *Klapdor H. V., Wene C. O.* Structure in the Beta Strength Function and Consequences for Nuclear Physics and Astrophysics // J. Phys. G: Nucl. Phys. 1980. V. 6. P. 1061–1104.
5. *Быков А. А. и др.* Спектрометр полного поглощения  $\gamma$ -лучей для измерения силовых функций  $\beta$ -распада // Изв. АН СССР. Сер. физ. 1980. Т. 44. С. 918–926.
6. *Greenwood R. C. et al.* Total Absorption Gamma-Ray Spectrometer for Measurement of Beta-Decay Intensity Distributions for Fission Product Radionuclides // Nucl. Instr. Meth. A. 1992. V. 314. P. 514–540.



7. *Izosimov I.N. et al.* Structure of the  $\beta^+$ (EC) Decay Strength Function of  $^{147g}\text{Tb}$  ( $T_{1/2} \approx 1.6$  h). JINR Preprint E6-96-454. Dubna, 1996. 23 p.; J. Phys. G: Nucl. Part. Phys. 1998. V. 24. P. 831–845.
8. *Karny M. et al.* Coupling a Total Absorption Spectrometer to the GSI On-Line Mass Separator // Nucl. Instr. Meth. B. 1997. V. 126. P. 411–415.
9. *Rubio B., Gelletly W.* Total Absorption Spectroscopy // Rom. Rep. Phys. 2007. V. 59(2). P. 635–654.
10. *Rubio B. et al.* Beta Decay Studies with the Total Absorption Technique: Past, Present and Future // J. Phys. G: Nucl. Part. Phys. 2005. V. 31. P. S1477–S1483.
11. *Быков А.А. и др.* Силовые функции  $\beta^+$ /EC-распада изотопов цезия  $A = 128$ –120. Препринт ЛИЯФ № 748. Л., 1982. 25 с.
12. *Быков А.А. и др.* Силовые функции  $\beta$ -распада нейтронодефицитных изотопов лютеция ( $A = 162$ –172) // Изв. АН СССР. Сер. физ. 1981. Т. 45, № 5. С. 874–891.
13. *Быков А.А. и др.* Силовые функции  $\beta$ -распада нейтронодефицитных изотопов Тм ( $A = 157$ –163) // Изв. АН СССР. Сер. физ. 1982. Т. 46, № 11. С. 2230–2238.
14. *Быков А.А. и др.* Резонанс гамов-теллеровского типа в  $\beta^+$ /EC-распаде  $^{147}\text{Dy}$ . Препринт ЛИЯФ № 833. Л., 1984. 20 с.
15. *Алхазов Г.Д. и др.* Подавление силы спин-изоспиновых возбуждений в  $\beta^+$ -распаде  $^{147m,149,151}\text{Dy}$  // ЯФ. 1985. Т. 42, № 6. С. 1313–1324.
16. *Alkhasov G.D. et al.* Gamow–Teller Resonance in  $\beta^+$ -Decay of  $^{147m}\text{Dy}$  and Spin-Isospin Current Renormalization // Nucl. Phys. A. 1985. V. 438, No. 2. P. 482–492.
17. *Hansen P.G.* The Beta Strength Function // Advanced in Nuclear Physics. N.Y.: Acad. Press, 1974. V. 7. P. 159–170.
18. *Izosimov I.N. et al.* Fine Structure of the  $M_T = +1$  Gamow–Teller Resonance in  $^{147g}\text{Tb} \rightarrow ^{147}\text{Gd}$   $\beta^+$ /EC Decay // Part. Nucl., Lett. 2000. No. 4[101]. P. 40–45.
19. *Izosimov I.N. et al.* Fine Structure of the  $^{147g}\text{Tb}$  (1.6 h),  $^{149}\text{Tb}$  (4.15 h) and  $^{151}\text{Tb}$  (17.6 h)  $\beta^+$ /EC Decay Strength Functions // Czech. J. Phys. 2001. V. 51, Suppl. A. P. A277–A281.
20. *Izosimov I.N., Kalinnikov V.G., Solnyshkin A.A.* Fine Structure of Strength Function for  $\beta^+$ /EC Decay of  $^{160g}\text{Ho}$  (25.6 min). JINR Preprint E6-2008-12. Dubna, 2008. 12 p.; Part. Nucl., Lett. 2008. V. 5, No. 5(147). P. 720–727.
21. *Izosimov I.N., Kalinnikov V.G., Solnyshkin A.A.* Fine Structure of the Strength Function for the  $\beta^+$ /EC-Decay of the  $^{160m}\text{Ho}$  (5.02 h) Isomer. JINR Preprint E6-2010-53. Dubna, 2010. 14 p.; Part. Nucl., Lett. 2011. V. 8, No. 1(164). P. 41–52.
22. *Джелепов Б. С., Зырянова Л. Н., Суслов Ю. П.* Бета-процессы. Л.: Наука, 1972.
23. *Bohr A., Mottelson B.* Nuclear Structure. V. 1. N.Y.: Benjamin, 1969.
24. *Kuzmin V.A., Soloviev V.G.* Gamow–Teller  $\beta^+$  Decays and Strength Function of ( $n, p$ ) Transitions in Spherical Nuclei // Nucl. Phys. A. 1988. V. 486. P. 118–132.
25. *Staudt A. et al.* Second-Generation Microscopic Predictions of Beta-Decay Half-Lives of Neutron-Rich Nuclei // At. Data Nucl. Data Tables. 1990. V. 44. P. 79–132.
26. *Moller P., Randrup J.* New Development in the Calculation of  $\beta$ -Strength Functions. Preprint LBL-27504. Berkeley, 1989; Nucl. Phys. A. 1990. V. 514. P. 1–48.

27. Frisk F., Hamamoto I., Zhang X. Z. Gamow–Teller  $\beta^+$  Decay of Deformed Nuclei near the Proton Drip Line // Phys. Rev. C. 1995. V. 52. P. 2468–2474.
28. Борзов И. Н., Трыков Е. Л., Фаянс С. А. Силовые функции гамов-теллеровских возбуждений стабильных и нейтронно-дефицитных ядер // ЯФ. 1990. Т. 52. С. 985–1003.
29. Borzov I. N., Goriely S. Microscopic Nuclear Models and Nuclear Data for Astrophysics // Part. Nucl. 2003. V. 34(6). P. 1375–1435.
30. Urin M. H. Particle-Hole Optical Model for Giant-Resonance Strength Functions // Proc. of the Intern. Conf. on Nuclear Structure and Related Topics. Dubna, June 30–July 4, 2009. V. 2. Dubna, 2009. P. 155–162.
31. Nabi J.-U., Klapdor-Kleingrothaus H. V. Weak Interaction Rates of *sd*-Shell Nuclei in Stellar Environments Calculated in the Proton–Neutron Quasiparticle Random Phase Approximation // At. Data Nucl. Data Tables. 1999. V. 71. P. 149–345.
32. Suhonen J. Calculation of Allowed and First-forbidden Beta-Decay Transitions of Odd–Odd Nuclei // Nucl. Phys. A. 1993. V. 563. P. 205–224.
33. Исаков В. И., Новиков Ю. Н. Эффективные константы аксиально-векторного тока, пион-нуклонного взаимодействия и РСАС в ядре // Материалы XX Зимней школы ЛИЯФ по физике атомного ядра и элементарных частиц. Л., 1985. С. 81–118.
34. Izosimov I. N. Decay Schemes of Nuclei Far from Stability // Proc. of the Intern. Conf. «EXON-2004», Peterhof, Russia, 2004. P. 503–510.
35. Гапонов Ю. В., Лютостанский Ю. С. Гигантский гамов-теллеровский резонанс в нейтронно-избыточных ядрах // ЯФ. 2010. Т. 73. С. 1403–1417.
36. Ikeda K. Collective Excitation of Unlike Pair States in Heavier Nuclear // Prog. Theor. Phys. 1964. V. 31. P. 434–451.
37. Bohr A., Mottelson B. Nuclear Structure V. 2. N. Y.: Benjamin, 1974.
38. Gove N. B., Martin M. J. Log-f Tables for Beta Decay // At. Data. Nucl. Data Tables. 1971. V. 10. P. 205–219.
39. Greenwood R. C. et al. Measurement of  $\beta^-$ -Decay Intensity Distributions of Several Fission-Product Isotopes Using a Total Absorption  $\gamma$ -Ray Spectrometer // Nucl. Instr. Meth. A. 1997. V. 390. P. 95–154.
40. Yoshida T., Wakasugi Yu., Hagura N. Pandemonium Problem in Fission-Product Decay Heat Calculations Revisited // J. Nucl. Sci. Techn. 2008. V. 45(8). P. 713–717.
41. Tain J. L. Beta-Decay Total Absorption Measurements for Nuclear Technology and Astrophysics // Proc. of the Intern. Conf. on Nuclear Data for Science and Technology, Nice, France, April 22–27, 2007. P. 81–84.
42. Борзов И. Н. Бета-распад нейтронно-избыточных ядер и астрофизический нуклеосинтез. Дис. . . д-ра физ.-мат. наук. Дубна, 2004.
43. Yoshida T. et al. Possible Origin of the Gamma-Ray Discrepancy in the Summation Calculations of Fission Product Decay Heat // J. Nucl. Sci. Techn. 1999. V. 36. P. 135–142.
44. Algora A. et al.  $\beta$ -Decay Data for Reactor Decay-Heat Calculations: Confirmation of a Possible Source of the  $\gamma$  Discrepancy in the 300–3000 s Cooling Period. JYFL-177 Proposal. Finland, 2002.

45. *Izosimov I. N.* Decay Schemes Completeness Testing for Nuclei by Using the Total Absorption Gamma-Ray Spectroscopy // Proc. of the XI Intern. Seminar on Interaction of Neutrons with Nuclei (ISINN-11), Dubna, May 28–31, 2003. Dubna: JINR, 2004. P. 84–91.
46. *Izosimov I. N. et al.* Applications of the Total Absorption  $\gamma$ -Ray Spectroscopy for  $\beta$ -Decay Study // Phys. At. Nucl. 2003. V. 66(9). P. 1636–1638.
47. *Izosimov I. N. et al.* Beta-Decay Strength Measurements, Total Beta-Decay Energy Determination, and Decay-Scheme Completeness Testing by Total Absorption  $\gamma$ -Ray Spectroscopy // Phys. At. Nucl. 2004. V. 67(10). P. 1876–1883.
48. *Izosimov I. N. et al.* Determination of the Total Energy  $Q_{EC}$  for  $^{156}\text{Ho}$  ( $T_{1/2} \sim 56$  min)  $\beta^+$ /EC Decay Using the Total Absorption  $\gamma$ -Ray Spectrometer // Part. Nucl., Lett. 2002. No. 2[111]. P. 36–38.
49. *Кузнецов В. И., Скобелев Н. К., Флеров Г. Н.* Спонтанно делящийся нейтронно-дефицитный изотоп нептуния с периодом полураспада 60 сек // ЯФ. 1966. Т. 4. С. 279–281.
50. *Карнаухов В. А., Петров Л. А.* Ядра, удаленные от линии бета-стабильности. М.: Энергоиздат, 1981.
51. *Rudolph W., Kratz K.-L.* Attempt to Calculation of Delayed Neutron Emission Probabilities Using Simple Statistical Model Considerations // Z. Phys. A. 1977. V. 281. P. 269–275.
52. *Izosimov I. N. et al.* Fine Structure of the Beta-Decay Strength Functions // Proc. of the XII Intern. Seminar on Interaction of Neutrons with Nuclei (ISINN-12), Dubna, May 26–29, 2004. Dubna: JINR, 2004. P. 65–70.
53. *Petrov B. F., Naumov Yu. V., Klapdor H. V.* Structure in the Beta Strength Function of Very Neutron-Rich Rb-Isotopes // Z. Phys. A. 1979. V. 292. P. 73–77.
54. *Klapdor H. V. et al.* The Structure of the Beta Strength Function in Heavy Nuclei and Its Influence on  $\beta$ -Delayed Fission // Phys. Lett. B. 1978. V. 78. P. 20.
55. *Klapdor H. V. et al.* Determination of Fission Barrier Heights from  $\beta$ -Delayed Fission // Z. Phys. A. 1979. V. 292. P. 249.
56. *Изосимов И. Н., Явищ С. Г., Егоров С. А.* Структура силовой функции  $\beta^+$ /EC-распада и бета-запаздывающее деление в области  $^{180}\text{Hg}$  // Материалы междунар. школы-семинара по физике тяжелых ионов, Дубна, 3–12 окт. 1989 г. Дубна: ОИЯИ, 1990. С. 287–293.
57. *Klapdor-Kleingrothaus H. V.* Topical Problems of Nuclear Beta Decay Far from Stability // Proc. of the Intern. School-Seminar on Heavy Ion Physics, Dubna, Oct. 3–12, 1989. Dubna: JINR, 1990. P. 440–461.
58. *Изосимов И. Н.* Структура силовой функции  $\beta^-$ -распада и запаздывающее деление  $^{232}\text{Fr}$  // Изв. АН СССР. Сер. физ. 1992. Т. 56. С. 39–42.
59. *Изосимов И. Н.* Структура силовой функции  $\beta^+$ /EC распада и запаздывающее деление доактинидных ядер // Изв. РАН. Сер. физ. 1993. Т. 57. С. 29–32.
60. *Izosimov I. N.* Structure of the Beta Decay Strength Function and Beta-Delayed Fission of  $^{232}\text{Fr}$  // Proc. of the Intern. Conf. on Exotic Nuclei, Foros, Crimea, Oct. 1–5, 1991. P. 214–218.
61. *Белов Л. Г. и др.* Запаздывающее деление  $^{238}\text{Pa}$ . Препринт ОИЯИ P15-9795. Дубна, 1976.

62. Гангрский Ю. П. и др. Запаздывающее деление нейтронно-избыточных изотопов протактиния // ЯФ. 1978. Т. 27. С. 894–899.
63. Батист Л. Х. и др. Запаздывающее деление  $^{236}\text{Pa}$ . Препринт ЛИЯФ № 363. Л., 1977. 12 с.
64. Hall H. L. et al.  $\beta$ -Delayed Fission from  $^{256}\text{Es}^m$  and the Level Scheme of  $^{256}\text{Fm}$  // Phys. Rev. C. 1989. V. 39. P. 1866–1875.
65. Кузнецов В. И., Скобелев Н. К., Флеров Г. Н. Изучение спонтанно делящихся продуктов в ядерных реакциях  $^{230}\text{Th} + ^{10}\text{B}$  и  $^{230}\text{Th} + ^{11}\text{B}$  // ЯФ. 1967. Т. 5. С. 271–273.
66. Habs D. et al. Determination of the Fission Barrier of  $^{232}\text{Pu}$  from  $\beta$ -Delayed Fission and the Problem of the First Barrier // Z. Phys. A. 1978. V. 285. P. 53–57.
67. Strutinsky V. M. Shell Effects in Nuclear Masses and Deformation Energies // Nucl. Phys. A. 1967. V. 95. P. 420–442.
68. Гангрский Ю. П. и др. Исследования запаздывающего деления изотопов Bk, Es, Md // ЯФ. 1980. Т. 31. С. 306–317.
69. Hall H. L. et al. Electron-Capture-Delayed Fission Properties of  $^{234}\text{Am}$  // Phys. Rev. C. 1990. V. 41. P. 618–630.
70. Myers W. D. Development of the Semiempirical Droplet Model // At. Nucl. Data Tables. 1976. V. 17, No. 5–6.
71. Lazarev Yu. A. et al. Observation of Delayed Nuclear Fission in the Region of  $^{180}\text{Hg}$  // Eur. Phys. Lett. 1987. V. 4. P. 893–897.
72. Oganessian Yu. Ts., Lazarev Yu. A. // Treatise on Heavy Ion Science / Ed. D. A. Bromley. N. Y.: Plenum Press, 1985. V. 4. P. 1–251.
73. Wapstra A. H., Audi G., Hoekstra R. Atomic Masses from (Mainly) Experimental Data // At. Data Nucl. Data Tables. 1988. V. 39. P. 281–287.
74. Moller P. et al. Heavy-Element Fission Barriers // Phys. Rev. C. 2009. V. 79. P. 064304.
75. Andreyev A. N. et al. New Type of Asymmetric Fission in Proton-Rich Nuclei // Phys. Rev. Lett. 2010. V. 105. P. 252502.
76. Мезилев К. А. и др. Поиск запаздывающего деления в нейтронно-избыточных нуклидах и космохронология // Материалы междунар. школы-семинара по физике тяжелых ионов, Дубна, 3–12 окт. 1989 г. Дубна: ОИЯИ, 1990. С. 199–207.
77. Thielemann F. K., Metzinger J., Klapdor H. V. Beta-Delayed Fission and Neutron Emission: Consequences for the Astrophysical  $r$ -Process and the Age of the Galaxy // Z. Phys. A. 1983. V. 309. P. 301–317.
78. Moller P., Nix J. R. Atomic Masses and Nuclear Ground-State Deformations Calculated with a New Macroscopic-Microscopic Model // At. Data Nucl. Data Tables. 1981. V. 26. P. 165–196.
79. Барашенков В. С., Жериги Ф. Г. Систематика барьеров деления. Препринт ОИЯИ Р4-10781. Дубна, 1977.
80. Larson S. E., Leander G. Fission Barriers for Heavy Elements with Quadrupole Hexadecapole and Axially Asymmetric Distortions Taken into Account Simultaneously // Phys. Chem. Fission. Rochester, 1973; IEAE. Vienna, 1974. V. 1. P. 177–202.

81. *Егоров С. А., Рубченя В. А., Хлебников С. В.* Самосогласованное описание вероятности деления Ва и Ас в широком диапазоне энергий при учете особенностей спектров переходных состояний // *ЯФ*. 1987. Т. 46. С. 60–65.
82. *Weber J. et al.* Fission of  $^{228}\text{Ra}$  // *Phys. Rev. C*. 1976. V. 13. P. 2413–2420.
83. *Hardy J. C.* From Peaks to Continua: The Study of Delayed Proton Decay among Light Nuclei ( $A \leq 100$ ). CERN Report 76-13. Geneva, 1976; Proc. of the 3rd Intern. Conf. on Nuclei Far from Stability, Cargese, Corsica, France, May 19–26, 1976. P. 267–276.
84. *Богданов Д. Д., Карнаухов В. А., Петров Л. А.* Запаздывающие протоны и силовая функция  $\beta$ -распада  $^{109}\text{Te}$  // *ЯФ*. 1973. Т. 18. С. 3–11.
85. *Hardy J.* Beta Delayed Proton Emission // Proc. of the First Intern. Symp. Proton-Emitting Nuclei: «PROCON'99», Oak Ridge, TN, USA, Oct. 7–9, 1999.
86. *Kratz K.-L. et al.* Investigation of Beta Strength Functions by Neutron and Gamma Ray Spectroscopy. Inst. fur Kernchemie der Univ. Mainz. Mainz, 1978.
87. *Kratz K.-L. et al.* Investigation of Beta Strength Functions by Neutron and Gamma Ray Spectroscopy. The Decay of  $^{87}\text{Br}$ ,  $^{137}\text{I}$ ,  $^{85}\text{As}$  and  $^{135}\text{Sb}$  // *Nucl. Phys. A*. 1979. V. 317. P. 335–362.
88. *Kratz K.-L. et al.* The Beta-Decay of  $^{95}\text{Rb}$  and  $^{97}\text{Rb}$  // *Z. Phys. A*. 1983. V. 312. P. 43–57.
89. *Kratz K.-L.* Beta Minus Strength Function Phenomena of Exotic Nuclei — A Critical Examination of the Significance of Nuclear Model Predictions // *Nucl. Phys. A*. 1984. V. 417. P. 447–476.
90. *Klapdor H. V.* Beta Decay Far from Stability and Its Role in Nuclear Physics and Astrophysics // *Fortschr. Phys.* 1985. V. 33. P. 1–55.
91. *Hosmer P. et al.* Half-Lives and Branching for  $\beta$ -Delayed Neutron Emission for Neutron-Rich Co–Cu Isotopes in the  $r$ -Process // *Phys. Rev. C*. 2010. V. 82. P. 025806.
92. *Pfeiffer B., Kratz K.-L., Moller P.* Status of Delayed Neutrons Precursor Data Half-Lives and Neutron Emission Probabilities. nucl-ex/0106020v1.
93. *Pereira J. et al.* Beta-Decay Half-Lives and Beta-Delayed Neutrons Emission Probabilities of Nuclei in the Region below  $A = 110$ , Relevant for the  $r$ -Process // *Phys. Rev. C*. 2009. V. 79. P. 035806.
94. *Fujita Y.* Gamow–Teller Strengths from ( $^3\text{He}, t$ ) Charge-Exchange Reaction // *J. Phys.: Conf. Ser.* 2006. V. 49. P. 29–34.
95. *Duke C. L. et al.* Strength Function Phenomena in Electron-Capture Beta Decay // *Nucl. Phys. A*. 1970. V. 151. P. 609–633.
96. *Наумов Ю. В., Крафт О. Е.* Изоспин в ядерной физике. М.; Л.: Наука, 1972.
97. *Наумов Ю. В., Крафт О. Е.* Гамма-распад аналоговых резонансов // *ЭЧАЯ*. 1975. Т. 6, вып. 4. С. 892–970.
98. *Fujita J., Fujii S., Ikeda K.* Nuclear Core Polarization Effect on Beta Decay // *Phys. Rev.* 1964. V. 133, No. 3B. P. B549–B555.
99. *Fujita J., Ikeda K.* Existence of Isobaric States and Beta Decay of Heavier Nuclei // *Nucl. Phys.* 1965. V. 67. P. 145–177.

100. *Hirsch M., Staudt A., Klapdor-Kleingrothaus H. V.* Prediction of Average  $\beta$  and  $\gamma$  Energies and Probabilities of  $\beta$ -Delayed Neutron Emission in the Region of Fission Products // *At. Data Nucl. Data Tables.* 1992. V. 51. P. 243–271.
101. *Engel J. et al.*  $\beta$  Decay Rates of  $r$ -Process Waiting-Point Nuclei in a Self-Consistent Approach // *Phys. Rev. C.* 1999. V. 60. P. 014302.
102. *Krumlinde J., Moller P.* Calculation of Gamow–Teller  $\beta$ -Strength Functions in the Rubidium Region in the RPA Approximation with Nilsson-Model Wave Functions // *Nucl. Phys. A.* 1984. V. 417. P. 419–446.
103. *Moller P., Nix J. R., Kratz K.-L.* Tables of Beta Decay Characteristics for Astrophysical and Radioactive Beam Applications // *At. Data Nucl. Data Tables.* 1997. V. 66. P. 131–211.
104. *Borzov I. N.* Gamow–Teller and First-Forbidden Decays near the  $r$ -Process Paths at  $N = 50, 82, 126$  // *Phys. Rev. C.* 2003. V. 68. P. 025802.
105. *Soloviev V. G.* Theory of Atomic Nuclei: Quasiparticles and Phonons. Bristol: Inst. of Phys. Publ., 1992.
106. *Kotila J., Suhonen J., Delion D. S.* Two-Neutrino Double-Beta Decay of  $^{76}\text{Ge}$  in an Anharmonic Vibrator Approach // *J. Phys. G: Nucl. Part. Phys.* 2009. V. 36. P. 045106.
107. *Kotila J., Suhonen J., Delion D. S.* Description of the Two-Neutrino  $\beta\beta$  Decay  $^{100}\text{Mo}$  by pnMAVA // *J. Phys. G: Nucl. Part. Phys.* 2009. V. 37. P. 015101.
108. Table of Isotopes. 8th Ed. / Eds.: R. B. Firestone and V. S. Shirley. N. Y.: John Wiley & Sons, 1996.
109. *Wawryszczuk J. et al.* Low-Spin States of  $^{147}\text{Gd}$  in the  $\beta$ -Decay of  $^{147g}\text{Tb}$  // *Z. Phys. A.* 1997. V. 357. P. 39–45.
110. *Адам И. и др.* Исследование радиоактивного распада ядер  $^{160}\text{Er} \rightarrow ^{160m,g}\text{Ho} \rightarrow ^{160}\text{Dy}$  // *Изв. РАН. Сер. физ.* 2002. Т. 66, № 10. С. 1384–1446.
111. *Молнар Ф., Халкин В. А., Херрман Э.* Получение высокорadioактивных препаратов нейтронодефицитных изотопов редкоземельных элементов для целей ядерной спектроскопии // *ЭЧАЯ.* 1973. Т. 4. С. 1077–1155.
112. *Kalinnikov V. G. et al.* Experimental Complex to Study Nuclei Far from the Beta-Stability Line — ISOL-Facility YASNAPP-2 // *Nucl. Instr. Meth. B.* 1992. V. 70. P. 62–68.
113. *Izosimov I. N., Kalinnikov V. G., Solnyshkin A. A.* Resonance Structure of the First Forbidden  $\beta^+$ /EC Decay Strength Functions // *Proc. of the LXI Conf. on Nucl. Phys. «Nucleus 2011», Sarov, Russia, 2011* (submitted).
114. *Adam J. et al.* Determination of It/Total Branching in Decay of  $^{160m}\text{Ho}$  (5.02 h) Isomer // *Bulg. J. Phys.* 2005. V. 32, No. 4. P. 287–291.
115. *Ишханов Б. С., Орлин В. Н.* Полумикроскопическое описание гигантского дипольного резонанса // *ЭЧАЯ.* 2007. Т. 38, № 2. С. 460–497.